

روش تجزیه‌ی بندرز تسریع شده برای برنامه‌ریزی توسعه‌ی تولید و انتقال برق پایدار در شرایط عدم قطعیت با در نظر گرفتن ریسک اختلال و جنبه‌های اقتصادی، زیست محیطی و اجتماعی: مطالعه‌ی موردی در ایران

مهمنگی صنایع و مدیریت شرکت (تاپیستان ۱۳۹۹) دوری ۱، شماره ۲، ص. ۸۷-۱۵۱

امیرحسین صدیقی (استادیار)
پژوهشکده فناوری اطلاعات، پژوهشگاه علوم و فناوری اطلاعات ایران (ایراندال)

امیراحمدی جاوید* (دانشیار)
دانشکده مهندسی صنایع و سیستم‌های مدیریت، دانشگاه صنعتی امیرکبیر

این مقاله الگوریتم مؤثری برای حل یک مدل برنامه‌ریزی تصادفی چندمرحله‌یی مورد استفاده در برنامه‌ریزی یکپارچه‌ی توسعه‌ی شبکه‌ی انتقال و تولید یک سیستم قدرت با عدم قطعیت در تقاضای آینده‌ی برق، قیمت‌های سوخت، انتشار گازهای گلخانه‌یی و با در نظر گرفتن ریسک اختلال در ظرفیت تولید و انتقال ارائه می‌کند. در مدل مذکور هر سه جنبه‌ی اقتصادی، اجتماعی و زیست‌محیطی پایداری در تولید و انتقال برق لحاظ شده است. الگوریتم ارائه شده با استفاده از ساختار ویژه مدل بر مبنای تجزیه‌ی بندرز طراحی شده است و روش‌هایی برای تسریع آن به کار گرفته شده است. نتایج محااسباتی نشان‌گر کارایی قابل الگوریتم پیشنهادی است. سپس نتایج برای مطالعه‌ی موردی در شبکه‌ی برق شمال غرب ایران به کار گرفته شده است. این بررسی عددی به خوبی نشان می‌دهد که یکپارچه‌سازی انتقال و تولید سیستم قدرت می‌تواند منجر به اتخاذ تصمیمات پایدارتری از وجود مختلف در طول دوره‌ی برنامه‌ریزی شود.

واژگان کلیدی: برنامه‌ریزی توسعه‌ی تولید برق، برنامه‌ریزی توسعه‌ی انتقال برق، توسعه‌ی پایدار، بهینه‌سازی تصادفی چندمرحله‌یی، روش تجزیه‌ی بندرز برای برنامه‌ریزی عدد صحیح مخلوط.

۱. مقدمه

است که توجه جامعه‌ی جهانی و تصمیم‌سازان را به خود جلب کرده است. در این رویکرد، توجه به سه بعد اقتصادی، اجتماعی و زیست‌محیطی در کشاورزی و دیگر می‌تواند تصمین‌کننده‌ی آینده‌یی بهتر و توسعه‌یی پایدارتر باشد. از این رو مسائل مهمی همچون برنامه‌ریزی توسعه‌ی تولید و انتقال برق نیز نیازمند بهره‌گیری از چنین چشم‌ندازی هستند تا بتوانند تصمیم‌گیری علمی و آکادемی در این حوزه را با نگاهی پایدار ادغام کنند.

در این راستا نویسنگان مقاله‌ی حاضر در یکی از تحقیقات منتشرشده‌ی قبلی خود^[۱] برای برنامه‌ریزی توسعه‌ی پایدار تولید و انتقال شبکه‌ی برق در شرایط عدم قطعیت مدل جامعی را ارائه کرده بودند. اما راه حل ارائه شده در آن مقاله مبتنی بر استفاده‌ی مستقیم از نرم افزارهای بهینه‌سازی است که در ابعاد بالا یا حل توسط آن ناممکن است یا زمان حل بسیار طولانی می‌شود. به‌منظور رفع این موضوع، این مقاله یک الگوریتم حل بسیار مؤثر برای حل این مدل یکپارچه در ابعاد بالا ارائه می‌دهد. مدل مورد بررسی یک مدل برنامه‌ریزی تصادفی چندمرحله‌یی است و برای حل آن الگوریتمی مبتنی بر روش تجزیه‌ی بندرز تسریع شده پیشنهاد خواهد شد که کارایی

تولید و انتقال قابل اطمینان قدرت، نقشی ضروری و تسریع‌کننده در توسعه‌ی اقتصادی کشور دارد و از دغدغه‌های اصلی در مدیریت سیستم قدرت به شمار می‌آید. تولید و انتقال قدرت جنبه‌های مختلفی را در بر می‌گیرد که تأثیر زیادی بر جامعه و محیط زیست همچون انتشار گازهای گلخانه‌یی، آلودگی هوا، آلودگی صوتی و انتظارات اجتماعی می‌گذارد. این تأثیرات هنگامی که حوالات مختلف کننده مانند سوانح طبیعی و انسانی اتفاق می‌افتد حتی شدیدتر نیز می‌شوند. به علاوه، عدم قطعیت مربوط به تقاضای آینده برق و قیمت سوخت نیز بر برنامه‌ریزی تأثیرگذار است و در نتیجه یک مستانه‌ی پیچیده و چند بعدی را به دست می‌دهد.

از طرف دیگر توسعه‌ی پایدار که به دنبال برطرف کردن نیازهای امروز بدون به خطر انداختن توانایی نسل آینده برای برطرف‌سازی نیازشان است، از دیگر موضوعاتی

* نویسنده مسئول
تاریخ: دریافت ۲۳، اکتبر ۱۳۹۸، اصلاحیه ۲، ۱۳۹۸/۵/۲۳، پذیرش ۲۹، اکتبر ۱۳۹۸.

شده است. مزا و همکاران^[۱۳] GEP را با در نظر گرفتن انتشارات گاز CO₂ و رسیک قیمت ساخت در قالب یک مدل برنامه ریزی غیرخطی عدد صحیح مخلوط چند هدفه تک دوره‌ی فرمول بندی کردند. سیریکوم و همکاران^[۱۴] با لحاظ کردن هزینه‌های زیست محیطی و محدودیت‌هایی برای انتشار آلاینده‌های هوا SO₂ و PM₁₀، مسئله‌ی GEP را توسعه دادند. چن و همکاران^[۱۵] تأثیرات عامل‌های کم کربن مختلف را با GEP ترکیب کردند و یک رویکرد مدل بندی توافقی برای تطبیق خصوصیات مدل پیشنهادی ارائه دادند. تکیش و همکاران^[۱۶] یک مدل بهینه‌سازی چند هدفه برای GEP پیشنهاد کردند که در آن تأثیرات زیست محیطی (انتشارات گازهای CO₂ و NO_x) در نظر گرفته شده و عدم قطعیت در تقاضا و در دسترس بودن واحدها با استفاده از شبیه‌سازی مونت‌کارلو لحاظ شده است.

کاری و همکاران^[۱۷] تأثیرات تعریف‌های خوارک، تعهدات سهمیه‌ی، تجاری گازهای انتشاری و مالیات برکربن را در در نظر گرفتند و مسئله را با استفاده از الگوریتم تجزیه‌ی بندرز تعیین یافته حل کردند. ساگاستیابا و سلوف^[۱۸] GEP را با محدودیت‌های زیست محیطی به صورت یک مسئله‌ی بهینه‌سازی محدودیت‌دار محدب ناهموار فرمول بندی کردند و آن را به کمک یک روش مناسب و مؤثر حل کردند. گیتازاده و همکاران^[۱۹] یک مدل خطی عدد صحیح مخلوط چند هدفه برای GEP پیشنهاد کردند که در آن انتشارات گاز CO₂ و رسیک قیمت انرژی در نظر گرفته می‌شود. سانتوس و لگی^[۲۰] هزینه‌های زیست محیطی مربوط به احداث و عملیاتی کردن نیروگاه‌های برق را با فرایند برنامه ریزی توسعه‌ی بلندمدت سیستم‌های تولید گرمایی ترکیب کردند. بهوانش و همکاران^[۲۱] منابع تجدیدپذیر انرژی و فناوری‌های ذخیره‌ی انرژی را در مسئله در نظر گرفتند و برای حل آن از الگوریتم‌های تکاملی استفاده کردند. مهرآبادی و همکاران^[۲۲] در یک محیط رقابتی به بررسی سیاست‌های کنترل آلودگی در مسئله پرداختند.

۲. برنامه ریزی توسعه‌ی انتقال

برنامه ریزی توسعه‌ی انتقال (TEP)^[۲] به دنبال تعیین ساختار بهینه‌ی شبکه‌ی قدرت در یک افق برنامه ریزی بلندمدت است تا نیاز به نیرو در هر گره را با کمترین هزینه‌ی ساخت خطوط جدید، عملیات و نگهداری شبکه‌ی نیرو برآورده سازد. الگواییل و همکاران^[۲۳] یک رویکرد برنامه ریزی خطی عدد صحیح مخلوط برای حل TEP بلندمدت ارائه دادند. بوسیماته سدیو و آرورا^[۲۴] این مسئله را تحت عدم قطعیت فرمول بندی کردند. لیچه داسیلو و همکاران^[۲۵] پیشنهادی مربوط به الگوریتم‌های فراابتکاری پیشنهادی برای حل TEP را مرور کردند. دلگادو و کارلو^[۲۶] رسیک‌گریزی را در نظر گرفتند و یک مدل برنامه ریزی خطی عدد صحیح مخلوط با میانگین رسیک برای TEP ارائه دادند. شیواجو و عامی^[۲۷] برای TEP یک مدل چند لایه در محیطی رقابتی و با کمک تصمیم‌گیری چند معیاره ارائه کردند. لومبراس و همکاران^[۲۸] برای حل مسئله از مدل سازی مبتنى بر عامل و با الهام از نوعی انگل با مهارت بالا در ساخت شبکه‌های انتقال بهره گرفتند. داس و همکاران^[۲۹] برای حل TEP از رویکردی مبتنى بر الگوریتم خفash استفاده کردند. برای مروری بر مقالات منتشرشده در حوزه TEP می‌توان به مقاله‌ی گومز و سارایوا^[۳۰] مراجعه کرد.

۳. برنامه ریزی توسعه‌ی یکپارچه‌ی تولید و انتقال

به علت رابطه‌ی نزدیک بین GEP و TEP، برنامه ریزی توسعه‌ی یکپارچه‌ی تولید و انتقال (GTEP)^[۳] یکی از خطوط تحقیقاتی اصلی در مدیریت سیستم‌های

بسیار چشم‌گیری در مقایسه با روش حل می‌تواند بر استفاده‌ی مستقیم از نرم افزارهای بهینه‌سازی موجود دارد. در ادامه مقایسه‌ی برای سنجیدن کارایی الگوریتم ارائه شده است. ضمناً نتایج مدل برای یک مطالعه‌ی موردی مبتنی بر اطلاعات شبکه‌ی برق ایران ارائه خواهد شد. این قسمت برگرفته از یافته‌های قابلی است و فقط به منظور انسجام و استفاده‌ی بیشتر خوانندگان فارسی‌زبان علاقه‌مند به جنبه‌های کاربردی اورده شده است.

ادامه‌ی مقاله به این شرح سازمان یافته است. ابتدا پیشینه‌ی موضوع در بخش ۲ بررسی می‌شود. بخش ۳ به تعریف و فرمول بندی مسئله اختصاص یافته است. روش حل مسئله در بخش ۴ ارائه خواهد شد. در بخش ۵ مطالعه‌ی موردی تشریح شده و نتایج حاصل از مدل یکپارچه از زوایای مختلف تحلیل و بررسی شده است. در بخش آخر جمع‌بندی مقاله ارائه خواهد شد.

۲. پیشینه‌ی موضوع

۱.۲. برنامه ریزی توسعه‌ی تولید

هدف از برنامه ریزی توسعه‌ی تولید (GEP)^[۱] که نوعاً به صورت یک مدل برنامه ریزی عدد صحیح مخلوط فرمول بندی می‌شود، توسعه‌ی ظرفیت واحدهای تولیدی تولیدی در یک افق برنامه ریزی بلندمدت و به منظور کمینه‌سازی هزینه‌ی کل، شامل هزینه‌ی احداث واحدهای تولیدی جدید و هزینه‌های عملیاتی و تعمیرات و نگهداری واحدهاست. محققان زیادی GEP را تحت فرضیات قطعی مطالعه کردند. پارک و همکاران^[۲] این مسئله را به صورت یک مدل برنامه ریزی غیرخطی فرمول بندی کردند و یک الگوریتم زتیک بهبود یافته برای حل آن در ابعاد بالا ارائه کردند. فیرمو و لگی^[۳] یک الگوریتم زتیک تکرارشونده برای حل GEP ارائه دادند. آنتونیز و همکاران^[۴] یک مدل برنامه ریزی خطی عدد صحیح مخلوط چند هدفه برای GEP ارائه کردند که مدیریت طرف تقاضا (DSM)^[۵] را نیز در بر می‌گیرد.

یلدیریم و همکاران^[۶] یک الگوریتم زتیک-شبیه‌سازی تبرید انتباقی برای حل GEP پیشنهاد دادند. کاتان و همکاران^[۷] این مسئله را به صورت یک مسئله‌ی چند هدفه در نظر گرفته‌اند و از یک الگوریتم زتیک با مرتب سازی نخبگان غیرغالب برای حل آن استفاده کردند.

برخی دیگر از محققان GEP را تحت شرایط عدم قطعیت مطالعه کردند. جین و همکاران^[۸] GEP را با در نظر گرفتن عدم قطعیت درباره‌ی تقاضای آینده‌ی برق و قیمت ساخت فرمول بندی کردند. سپس یک مدل فرایند تصادفی را برای توصیف تغییر این پارامترها پیشنهاد دادند و یک درخت سماریو برای مسئله پیشنهاد کردند. پیررا و سارایوا^[۹] GEP را با یک شبیه‌سازی پویای بلندمدت ترکیب کردند تا تغییر تقاضا و قیمت برق را تخمین بزنند. فنگ و ریان^[۱۰] یک الگوریتم کاهش سماریو جدید برای GEP با در نظر گرفتن عدم قطعیت در قیمت آینده‌ی ساخت و تقاضای برق به واسطه‌ی برون‌یابی آماری روندهای تاریخی بلندمدت ارائه کردند. صدیقی و احمدی‌جاوید^[۱۱] GEP را با استفاده از یک رویکرد رسیک‌گریز مدل سازی کردند به صورتی که رسیک اختلال و جنبه‌های مسئولیت‌پذیری اجتماعی را در آن در نظر گرفتند. جین و همکاران^[۱۲] عدم قطعیت را به صورت فازی و با استفاده از تابع عضویت فاصله‌ای در مسئله لحاظ کردند. در مطالعه‌ی دیگری راجرز و همکارانش^[۱۳] هزینه‌های اجتماعی را وارد مدل کردند و با کمک شبیه‌سازی به حل آن در یک مطالعه‌ی موردی پرداختند. تأثیرات زیست محیطی اخیراً در برخی مطالعات مرتبط با GEP در نظر گرفته

مجموعه‌های مدل:

- N : مجموعه‌ی گره‌هایی که در GTEP در نظر گرفته شده‌اند. پوزو و همکاران^[۲۱] یک مدل تعادلی سه‌سطحی برای توسعه‌ی یکپارچه‌ی یک شبکه‌ی برق ارائه دادند.
- Ω : مجموعه‌ی سناریوهایی که در آنورا^[۲۲] مدلی برای یکپارچه‌سازی برنامه‌ریزی توسعه‌ی تولید و انتقال پیشنهاد کردند تا یک طرح توسعه‌ی برای کل بخش در سطح کلان به دست آورند.
- T : مجموعه‌ی دوره‌هایی که در مدل تعادلی جای خواهد گرفت. مدلی^[۱۱] مسئله را در یک محیط تصادفی و با در نظر گرفتن جنبه‌های متعددی از پایداری و مسئولیت‌پذیری اجتماعی و لحاظ ریسک اختلال فرمول بندی کردند. سرید و تزور^[۲۳] تقاضا را به صورت وابسته به زمان در نظر گرفتند و تولید توزیع شده را در مدل وارد کردند. گوپتا و همکاران^[۲۴] از یک رویکرد بهینه‌سازی تکاملی دوستخطی مبتنی بر الگوریتم ژنتیک برای حل مسئله کمک گرفتند تا ضمن کاهش هزینه‌های سرمایه‌گذاری شبکه، قابلیت اطمینان آن را افزایش دهند. نونز و همکاران^[۲۵] GTEP را با هدف افزایش سهم منابع انرژی تجدیدپذیر مد نظر قرار دادند و آن را در یک مطالعه‌ی مرودی در استرالیا به کار گرفتند. مارکل-هوب و همکاران^[۲۶] مسئله را در سطحی کلان در نظر گرفتند و برای حل آن الگوریتم هایی مبتنی بر جستجوی همسایگی و جستجوی تصادفی حریص ارائه دادند. کوئیروکا و همکاران^[۲۷] تأثیر سیاست‌های مالیاتی منطقه‌ی و محلی مرتبط با انتشار آلودگی‌ها را در GTEP با ارائه یک مدل برنامه‌ریزی خطی عدد صحیح بررسی کردند و مدل خود را در یک مطالعه‌ی مرودی در شبکه‌ی برق شیلی به کار گرفتند. ملکوتی‌مقدم و همکاران^[۲۸] مسئله را برای یک هاب انرژی در نظر گرفتند و برای حل آن از یک الگوریتم ژنتیک بهبودیافته بهره بردنند.

با توجه به پیشینه و اهمیت موضوع نیاز به مطالعه‌ی احساس می‌شود که بتواند به جای الگوریتم‌های اکتشافی راه حل دقیق و کارایی برای یکپارچه‌سازی جنبه‌های مختلف توسعه‌ی پایدار با تصمیمات طراحی و برنامه‌ریزی شبکه‌ی تأمین برق، در یک محیط غیرقطعی با لحاظ ریسک اختلال ارائه دهد. در این زمینه مقاله‌ی حاضر با مبنای قرار دادن مدل پیشنهادی در مرجع^[۱] قصد دارد تا روش حل دقیق و مؤثر مبتنی بر تجزیه‌ی بندرز برای مسئله ارائه دهد.

۳. تعریف و فرمول بندی مسئله

هدف از مسئله‌ی برنامه‌ریزی توسعه‌ی یکپارچه‌ی تولید و انتقال پیشنهادی در مقاله^[۱] مکان‌یابی هم‌زمان واحدهای تولیدی جدید، ساخت خطوط انتقال جدید و تعیین توان تولیدی و جریان نیرو در شبکه‌ی نهایی به صورتی است که با هزینه‌ی کل کمینه‌ی احداث، انتقال، زیستمحیطی و کاهش بار بتواند نیازمندی‌های نیرو را در افق برنامه‌ریزی چنددوره‌ی براورده کند. بدین‌منظور یک شبکه‌ی قدرت شامل تعدادی واحد تولیدی و خطوط انتقال موجود به همراه مکان‌یابی بالقوه برای واحدهای تولیدی و خطوط انتقال جدید در نظر گرفته می‌شود. این شبکه تحت تأثیر اختلال در ظرفیت تولید و انتقال قرار دارد و تقاضا، قیمت‌های ساخت و انتشارات گازها در آن تصادفی هستند. در ادامه قسمت‌های متفاوت این مدل توضیح داده می‌شود.

۱.۳. نمادگذاری

این بخش به ترتیب به معرفی مجموعه‌های پارامترها و متغیرهای تصمیم مدل می‌پردازد که برای مدل سازی در زیربخش بعدی استفاده خواهند شد.

$$\sum_{\omega \in \Omega} p(\omega) \times \left[\sum_{(i,k) \in FNG} \sum_{t \in T} (1+r)^{(1-t)} duom_{i,k,t}(\omega) P_{i,k,t}(\omega) + \sum_{i \in N} \sum_{t \in T} (1+r)^{(1-t)} lc_i du_t R_{i,t}(\omega) \right] \quad (2)$$

$\rho_{noise}^{i,k}$: تأثیر نویز یک واحد تولیدی از نوع k در گره i بر حسب دسیبل، مختلف به صورت زیر بیان می‌شود:
 $\rho_{sa}^{i,k}$: کمینه‌ی نرخ مجاز پذیرش اجتماعی؛
 $\rho_{sag}^{i,k}$: پذیرش اجتماعی یک واحد تولیدی از نوع k در گره i بر حسب دسیبل؛
 $\rho_{sal}^{i,j}$: پذیرش اجتماعی یک خط انتقال از گره i به گره j بر حسب دسیبل؛
 bdt : بودجه‌ی کل برای طرح توسعه‌ی تولید و انتقال در دوره‌ی t ؛
 M : یک عدد مثبت به اندازه‌ی کافی بزرگ.

هزینه‌ی پایداری

هزینه‌ی پایداری مؤثر در برنامه‌ریزی در این مسئله برابر با امید ریاضی هزینه‌ی بعد اجتماعی-زیستمحیطی انتشارات گاز CO_2 در نظر گرفته شده که عبارت است از:

$$\sum_{\omega \in \Omega} p(\omega) \times ec_{CO_2} SC_{CO_2}(\omega) \quad (3)$$

که در آن:

$$SC_{CO_2}(\omega) = \sum_{(i,k) \in FNG} \sum_{t \in T} (1+r)^{(1-t)} du_t \varphi_{CO_2}^{i,k,t}(\omega) P_{i,k,t}(\omega) \quad (4)$$

۲.۲.۳. محدودیت‌ها

در این زیربخش سه دسته از محدودیت‌های طراحی، برنامه‌ریزی و پایداری مدل به ترتیب ارائه خواهد شد.

محدودیت‌های طراحی

بیشترین میزان بودجه‌ی برنامه‌ریزی توسط محدودیت زیرکنترل می‌شود:

$$\sum_{(i,k) \in FPG} f_{cg_{i,k}} (X_{i,k,t} - X_{i,k,t-1}) \overline{cg}_{i,k} \quad t \in T \quad (5)$$

$$+ \sum_{(i,j) \in PL} f_{cl} (Y_{i,j,t} - Y_{i,j,t-1}) dis_{i,j} \leq bdt$$

هر گاه یک واحد تولیدی یا یک خط انتقال در یک دوره‌ی برنامه‌ریزی احداث شود، باید برای دوره‌های بعدی نیز در دسترس باشد. این مطلب توسط محدودیت‌های زیر بیان می‌شود:

$$X_{i,k,t-1} \leq X_{i,k,t} \quad (i, k) \in FPG, t \in T \quad (6)$$

$$Y_{i,j,t-1} \leq Y_{i,j,t} \quad (i, j) \in PL, t \in T \quad (7)$$

از طرف دیگر متغیرهای طراحی باید فقط مقادیر صفر یا یک را بگیرند؛ پس:

$$X_{i,k,t} \in \{0, 1\} \quad (i, k) \in FPG, t \in T \quad (8)$$

$$Y_{i,j,t} \in \{0, 1\} \quad (i, j) \in PL, t \in T \quad (9)$$

محدودیت‌های برنامه‌ریزی محدودیت‌های ظرفیت

در صورت احداث یک واحد تولیدی جدید، کل توان تولیدی آن در هر سناریو به صورت زیر توسط ظرفیت تولیدی در آن سناریو محدود می‌شود:

$$P_{i,k,t}(\omega) \leq \psi_{i,k,t}(\omega) \overline{cg}_{i,k} X_{i,k,t} \quad (i, k) \in FPG, t \in T, \omega \in \Omega \quad (10)$$

متغیرهای تصمیم

متغیرهای تصمیم مرحله‌ی اول

$X_{i,k,t}$: یک متغیر دودویی که اگر یک واحد تولیدی جدید از نوع k در گره i در دوره‌ی t احداث شود، برابر یک می‌شود؛
 $(i, k) \in FPG, t \in T$

$Y_{i,j,t}$: یک متغیر دودویی که اگر یک خط انتقال جدید در یال (i, j) در دوره‌ی t ساخته شود، برابر یک می‌شود؛
 $(i, j) \in PL, t \in T$

متغیرهای تصمیم مرحله‌ی دوم

$P_{i,k,t}(\omega)$: توان تولیدی در گره i توسط یک واحد تولیدی از نوع k در دوره‌ی t تحت سناریوی ω بر حسب مگاوات،
 $(i, k) \in FNG, t \in T, \omega \in \Omega$

$PF_{i,j,t}(\omega)$: جریان توان از گره i به گره j در دوره‌ی t تحت سناریوی ω بر حسب مگاوات،
 $(i, j) \in TL, t \in T, \omega \in \Omega$

$R_{i,t}(\omega)$: کاهش بار در گره i در دوره‌ی t تحت سناریوی ω بر حسب مگاوات،
 $i \in N, t \in T, \omega \in \Omega$

$VA_{i,t}(\omega)$: زاویه‌ی ولتاژ در گره i در دوره‌ی t تحت سناریوی ω بر حسب رادیان،
 $i \in N, t \in T, \omega \in \Omega$

۲.۳. فرمول بندی ریاضی

این زیربخش با استفاده از نمادهای تعریف شده در زیربخش قبل به بیان مدل پایه‌ی می‌پردازد که مبنای توسعه‌ی الگوریتم قرار می‌گیرد. در ابتدا تابع هدف و سپس محدودیت‌ها بیان می‌شوند.

۱.۲.۳. تابع هدف

در برنامه‌ریزی مورد نظر کمینه‌سازی یک تابع، که ترکیبی از هزینه‌های مختلف است، به عنوان معیار عملکرد در نظر گرفته می‌شود. این تابع هدف شامل کمینه‌سازی سه‌دسته از هزینه‌های است که در زیر آمده است.

هزینه‌ی طراحی

هزینه‌ی طراحی شبکه برابر با کل هزینه‌ی ثابت احداث، عملیاتی کردن و نگهداری واحدهای تولیدی جدید و هزینه‌ی کل ساخت خطوط انتقال جدید است که عبارت است از:

$$\begin{aligned} & \sum_{(i,k) \in FPG} \sum_{t \in T} (1+r)^{(1-t)} f_{cg_{i,k}} (X_{i,k,t} - X_{i,k,t-1}) \overline{cg}_{i,k} \\ & + \sum_{(i,j) \in PL} \sum_{t \in T} (1+r)^{(1-t)} f_{cl} (Y_{i,j,t} - Y_{i,j,t-1}) dis_{i,j} \end{aligned} \quad (11)$$

هزینه‌ی برنامه‌ریزی

هزینه‌ی برنامه‌ریزی شبکه برابر با کل هزینه‌ی مورد انتظار عملیاتی و تعمیرات و نگهداری واحدهای تولیدی و هزینه‌ی کاهش بار است که در قالب امید ریاضی سناریوهای

هستند. این دسته محدودیت‌ها به صورت زیر بیان می‌شوند:

$$P_{i,k,t}(\omega) \geq 0 \quad (i, k) \in FNG, t \in T, \omega \in \Omega \quad (18)$$

$$PF_{i,j,t}(\omega) \in \mathbf{R} \quad (i, j) \in TL, t \in T, \omega \in \Omega \quad (19)$$

$$VA_{i,t}(\omega) \in \mathbf{R} \quad i \in N, t \in T, \omega \in \Omega \quad (20)$$

محدودیت‌های پایداری
میزان تأثیرات نویز در هرگره باید از بیشینه‌ی حد مجاز نویز در آن گره کمتر باشد. این محدودیت کنترلی مطابق با الزامات قانونی مرتبط با بعد اجتماعی-زیست محیطی از توسعه‌ی پایدار است و به صورت زیر بیان می‌شود:

$$SC_{noise}^i \leq \bar{\rho}_{noise}^i \quad i \in PG \quad (21)$$

که در آن میزان تأثیرات نویز در هرگره بر مبنای سطح کل نویز مربوط به واحدهای تولیدی بازشده در آن گره به صورت زیر محاسبه می‌شود:

$$SC_{noise}^i = 10 \log_{10} \left(\sum_{k|(i,k) \in FPG} \rho_{noise}^{i,k} / X_{i,k,|T|} \right) \quad i \in PG \quad (22)$$

برای اطلاع بیشتر درباره این الزام قانونی به آین نامه‌ی اجرایی نحوه‌ی جلوگیری از آводگی صوتی مصوب ۱۳۷۸/۳/۱۹ هیئت وزیران مراجعه کنید.^[۲]
به طور مشابه می‌توان محدودیتی برای پذیرش اجتماعی در نظر گرفت. در اینجا به دنبال پذیرش اجتماعی احداث یک واحد تولیدی با یک فشاری خاص در یک مکان مشخص با احداث یک خط انتقال هستیم. به عبارت دیگر قصد داریم تا نظر جامعه‌ی محلی و میزان پذیرش آن را درباره‌ی انجام طرح توسعه‌ی تولید و انتقال در مدل ریاضی لاحظ کنیم. بدین‌منظور میزان مقبولیت طرح در هر منطقه با استفاده از پرسشنامه‌ی استاندارد ارزیابی می‌شود (برای مطالعه‌ی بیشتر درباره‌ی پذیرش اجتماعی در سیستم‌های انرژی، ابعاد و اندازه‌گیری آن به مراجعه^[۲۷-۴۴] مراجعه کنید). سپس یک حد مجاز برای پذیرش طرح توسعه از سوی مدیران سیستم قدرت تعیین می‌شود. این حد مجاز در حقیقت کمینه‌ی میزان مقبولیتی را نشان می‌دهد که حاضریم با آن به پیاده‌سازی طرح توسعه اقدام کنیم. بدین ترتیب متوسط میزان پذیرش بر سیاست‌های کلی انتخابی مربوط به بعد اجتماعی توسعه‌ی پایدار در شبکه، از کمینه‌ی حد مجاز آن بیشتر باشد. بنابراین:

$$SC_{sa} \geq \rho_{sa} \quad (23)$$

که در آن متوسط میزان پذیرش اجتماعی شبکه با استفاده از مقدار میانگین پذیرش اجتماعی واحدهای تولیدی و خطوط انتقال جدید به صورت زیر محاسبه می‌شود:

$$SC_{sa} = \frac{\sum_{(i,k) \in FPG} \rho_{sa}^{i,k} X_{i,k,|T|} + \sum_{(i,j) \in PL} \rho_{sa}^{i,j} Y_{i,j,|T|}}{\sum_{(i,k) \in FPG} X_{i,k,|T|} + \sum_{(i,j) \in PL} Y_{i,j,|T|}} \quad (24)$$

توجه کنید که به عنوان قرارداد، به منظور خوش‌تعاریفی عبارت ۲۴ تقسیم صفر بر صفر را مساوی با صفر در نظر می‌گیریم. به علاوه محدودیت‌های ۲۱ و ۲۳ موضوعات مرتبط با مبحث پایداری را که در تابع هدف لحظه‌نشده‌اند، منعکس می‌سازند و نشان‌دهنده‌ی دسته‌ای از محدودیت‌های پایداری هستند که بر تضمیمات طراحی شبکه مؤثرند.

به طور مشابه محدودیت زیر ظرفیت تولید را برای واحدهای تولیدی موجود در هر ستاریو اعمال می‌کند:

$$P_{i,k,t}(\omega) \leq \psi_{i,k,t}(\omega) \overline{cg}_{i,k} \quad (i, k) \in FEG, t \in T, \omega \in \Omega \quad (11)$$

در صورت احداث یک خط انتقال، کران پایین و بالای توان عبوری از آن به صورت زیر توسط ظرفیت انتقال در هر ستاریو محدود می‌شود:

$$-\eta_{i,j,t}(\omega) \overline{fl}_{i,j} Y_{i,j,t} \leq PF_{i,j,t}(\omega) \leq \eta_{i,j,t}(\omega) \overline{fl}_{i,j} Y_{i,j,t} \quad (i, j) \in PL, t \in T, \omega \in \Omega \quad (12)$$

به طور مشابه محدودیت زیر میزان توانی را کنترل می‌کند که می‌تواند از طریق خطوط انتقال موجود در هر ستاریو عبور داده شود:

$$-\eta_{i,j,t}(\omega) \overline{fl}_{i,j} \leq PF_{i,j,t}(\omega) \leq \eta_{i,j,t}(\omega) \overline{fl}_{i,j} \quad (i, j) \in EL, t \in T, \omega \in \Omega \quad (13)$$

محدودیت‌های جریان

مجموع کل توان تولیدی در هرگره به علاوه توان ورودی به هرگره و کاهش بار در آن گره باید برابر با میزان توان خروجی از گره به علاوه تقاضای آن گره باشد. این رابطه قانون جریان کریشهف (KCL)^۵ را نشان می‌دهد که نشان‌گر بقای جریان در هرگره از شبکه است و به صورت زیر بیان می‌شود:

$$\begin{aligned} & \sum_{k|(i,k) \in FNG} P_{i,k,t}(\omega) + \sum_{j|(j,i) \in TL} PF_{j,i,t}(\omega) + R_{i,t}(\omega) = \\ & \sum_{j|(i,j) \in TL} PF_{i,j,t}(\omega) + d_{i,t}(\omega) \end{aligned} \quad i \in N, t \in T, \omega \in \Omega \quad (14)$$

از طرف دیگر واضح است که میزان کاهش بار در هرگره مقداری نامنفی است و نمی‌تواند از مقدار تقاضای بار در آن گره بالاتر باشد. پس:

$$R_{i,t}(\omega) \leq d_{i,t}(\omega) \quad i \in N, t \in T, \omega \in \Omega \quad (15)$$

محدودیت‌های زیر قانون اهم را در شبکه‌ی DC معادل برای خطوط انتقال موجود و جدید اعمال می‌کنند. این قانون توان عبوری از هر خط انتقال را به زاویه‌ی ولتاژ دو سر آن و مشخصه‌ی فیزیکی از خط انتقال (سوپتانس خط) مربوط می‌سازد و به طور ضمنی قانون ولتاژ کریشهف (KVL)^۶ را ارضا می‌کند (برای جزئیات فنی به مراجعه^[۴۰-۴۲] مراجعه کنید).

$$PF_{i,j,t}(\omega) - \gamma_{i,j} (VA_{i,t}(\omega) - VA_{j,t}(\omega)) = 0 \quad (i, j) \in EL, t \in T, \omega \in \Omega \quad (16)$$

$$\begin{aligned} & -M(1 - Y_{i,j,t}) \leq \\ & PF_{i,j,t}(\omega) - \gamma_{i,j} (VA_{i,t}(\omega) - VA_{j,t}(\omega)) \\ & \leq M(1 - Y_{i,j,t}) \end{aligned} \quad (i, j) \in PL, t \in T, \omega \in \Omega \quad (17)$$

در نهایت باید توجه کرد که توان تولیدی توسط هر واحد تولیدی مقداری نامنفی است. توان عبوری از هر خط انتقال و زاویه‌ی ولتاژ در هرگره نیز آزاد در عالم

s.t.

$$(5)-(6), (25), (26)$$

$$\begin{aligned} \theta(\omega) &\geq Q(l, \omega) - \sum_{(i,k) \in FPG} \sum_{t \in T} \left[\frac{\psi_{i,k,t}(\omega) \pi_{i,k,t}^l(\omega) \times}{\bar{c}g_{i,k}(\hat{X}_{i,k,t}^l - X_{i,k,t})} \right] \\ &- \sum_{(i,j) \in PL} \sum_{t \in T} \left[\begin{pmatrix} \eta_{i,j,t}(\omega) \bar{f}l_{i,j} \times (v_{i,j,t}^l(\omega) - \tau_{i,j,t}^l(\omega)) \\ -M(\kappa_{i,j,t}^l(\omega) - \lambda_{i,j,t}^l(\omega)) \\ \times (\hat{Y}_{i,j,t}^l - Y_{i,j,t}) \end{pmatrix} \right] \\ &\quad \omega \in \Omega, l \in iter \end{aligned} \quad (28)$$

که در آن نماد $iter$ بیان‌گر مجموعه‌ی اندیس تمام تکرارهای صورت‌گرفته در هر مرحله از حل مسئله اصلی است. عبارات (ω) , $\pi_{i,k,t}^l(\omega)$, $v_{i,j,t}^l(\omega)$, $\tau_{i,j,t}^l(\omega)$, $\kappa_{i,j,t}^l(\omega)$, $\lambda_{i,j,t}^l(\omega)$ به ترتیب مقادیر بهینه‌ی متغیرهای دوگان نظر محدودیت‌های ۳۱، ۳۰، ۳۲، ۳۳ و ۳۴ در تکرار l از زیرمسئله‌ی مریوطه هستند. به علاوه توجه کنید که دست محدودیت‌های ۲۸ معرف برش‌های بهینگی چندبرشی هستند که در مراحل قبلی تولید و اضافه شده‌اند (توجه شود برای مسئله‌ی ما نیازی به برش‌های شدنی بودن نیست چون در زیرمسائل جریمه‌ای درتابع هدف درصورت عدم وجود ظرفیت کافی لحاظ نمی‌شود).

زیرمسئله‌ی متضاد با سفاریوی Ω در تکرار l عبارت است از:

$$\begin{aligned} \min \quad & \sum_{(i,k) \in FNG} \sum_{t \in T} (1+r)^{(1-t)} du_{tom,i,k,t}(\omega) P_{i,k,t}(\omega) \\ & + \sum_{i \in N} \sum_{t \in T} (1+r)^{(1-t)} lc_i du_t R_{i,t}(\omega) \\ & + ec_{CO_r} SC_{CO_r}(\omega) \end{aligned} \quad (29)$$

s.t.

$$(4), (11), (13)-(16), (18)-(20)$$

$$P_{i,k,t}(\omega) \leq \psi_{i,k,t}(\omega) \bar{c}g_{i,k} \hat{X}_{i,k,t}^l \quad (i, k) \in FPG, t \in T \quad (30)$$

$$PF_{i,j,t}(\omega) \leq \eta_{i,j,t}(\omega) \bar{f}l_{i,j} \hat{Y}_{i,j,t}^l \quad (i, j) \in PL, t \in T \quad (31)$$

$$PF_{i,j,t}(\omega) \geq -\eta_{i,j,t}(\omega) \bar{f}l_{i,j} \hat{Y}_{i,j,t}^l \quad (i, j) \in PL, t \in T \quad (32)$$

$$PF_{i,j,t}(\omega) - \gamma_{i,j} (VA_{i,t}(\omega) - VA_{j,t}(\omega)) \leq M(1 - \hat{Y}_{i,j,t}^l) \quad (i, j) \in PL, t \in T \quad (33)$$

$$PF_{i,j,t}(\omega) - \gamma_{i,j} (VA_{i,t}(\omega) - VA_{j,t}(\omega)) \geq -M(1 - \hat{Y}_{i,j,t}^l) \quad (i, j) \in PL, t \in T \quad (34)$$

در این زیرمسئله، عبارات $\hat{X}_{i,k,t}^l$ و $\hat{Y}_{i,j,t}^l$ جواب بهینه‌ی مسئله اصلی متضاد با تکرار l الگوریتم هستند. به علاوه مقدار بهینه‌ی تابع هدف این زیرمسئله در تکرار l با $Q(l, \omega)$ نشان داده می‌شود.

همان‌طور که اشاره شد با هر بار حل مدل اصلی یک کران پایین برای مدل پایه به دست می‌آید. از طرف دیگر بعد از حل زیرمسائل متضاد در هر تکرار نیز یک کران بالا برای مسئله به دست خواهد آمد. در هر تکرار با استفاده از مقدار جدید

غیرخطی بودن مدل پیشنهادی بهسب عبارات آمده در محدودیت‌های ۲۱-۲۴ می‌تواند به واسطه خطی‌سازی‌های زیر از میان برداشته شود:

$$\sum_{k|(i,k) \in FPG} 10^{\rho_{noise}^{i,k}/10} X_{i,k,|T|} \leq 10^{\bar{\rho}_{noise}^i/10} \quad i \in PG \quad (25)$$

$$\begin{aligned} & \sum_{(i,k) \in FPG} \rho_{sa_g}^{i,k} X_{i,k,|T|} + \sum_{(i,j) \in PL} \rho_{sal}^{i,j} Y_{i,j,|T|} \\ & \geq \rho_{sa} \left(\sum_{(i,k) \in FPG} X_{i,k,|T|} + \sum_{(i,j) \in PL} Y_{i,j,|T|} \right) \end{aligned} \quad (26)$$

مدل ریاضی مورد نظر این مقاله مشتمل بر روابط ۲۵-۲۰-۱ است که از این پس مدل پایه نامیده می‌شود.

۴. روش حل مدل پایه

مدل پایه ارائه شده در بخش قبل، می‌تواند مستقیماً توسط نرم‌افزارهای موجود بهینه‌سازی حل شود؛ ولی وقتی تعداد سفاریوها زیاد شود، روند حل بسیار کند یا ناممکن خواهد شد. یک رویکرد متعارف برای فاقن آمدن بر این مشکل استفاده از تجزیه‌ی بندرز ^۷ است که یکی از مهم‌ترین روش‌ها در حوزه‌ی بهینه‌سازی به طور کلی و در بهینه‌سازی تصادفی به طور خاص است.^[۵۰-۴۸] این روش همچنین با نام‌های تجزیه‌ی اولیه^۸ (به دلیل این‌که مسئله‌ی اصلی متغیرهای زیرمسئله را ثابت می‌کند تجزیه‌ی I-شکل^۹ (به دلیل شکل خاص ماتریس محدودیت‌ها) و تجزیه‌ی منابع^{۱۰} (به دلیل این‌که مسئله‌ی اصلی به طور مستقیم تصمیمات منابع را به زیرمسئله تخصیص می‌دهد) نیز شناخته می‌شود. این روش به طور گسترده‌ی بمنظور حل مدل‌های برنامه‌ریزی خطی تصادفی دومرحله‌ی^{۱۱} به کار گرفته می‌شود.

تجزیه‌ی بندرز مسئله را به دو بخش مسئله اصلی^{۱۲} و زیرمسئله‌ها^{۱۳} تقسیم می‌کند که به طور مکرر و پشت سرهم حل می‌شوند. مسئله‌ی اصلی در برگیرنده‌ی تصمیمات مرحله‌ی اول و برخی شرایط مستخرج از حل زیرمسائل به نام برش‌های شدنی بودن و بهینگی است.^[۵۱] هر زیرمسئله شامل تعدادی از تصمیمات مرحله‌ی اول (بعد از حل مسئله‌ی اصلی) ثابت شده‌اند. اگر زیرمسائل برای این مقادیر ثابت شده از متغیرهای مرحله‌ی اول، ناشدنی باشند برش‌های شدنی بودن به مسئله‌ی اصلی اضافه می‌شوند. در غیر این صورت از طریق اضافه کردن مجموعه‌ی از برش‌های بهینگی جدید تقریب مقدار تابع هدف مرحله‌ی دوم در تابع هدف مسئله اصلی بهبود داده می‌شود. همچنین در این حالت، حل قابل قبول حاصل، کران بالایی برای مقدار بهینه‌ی مدل پایه حاصل می‌کند. این دو دسته از مسائل به طور تناوبی تا رسیدن به همگرای حل می‌شوند.

با توجه به نوع تصمیمات، مسئله‌ی اصلی و زیرمسائل الگوریتم بندرز پیشنهادی به صورت زیر می‌باشند:

$$\begin{aligned} \min \quad & \sum_{(i,k) \in FPG} \sum_{t \in T} (1+r)^{(1-t)} fcg_{i,k}(X_{i,k,t} - X_{i,k,t-1}) \bar{c}g_{i,k} \\ & + \sum_{(i,j) \in PL} \sum_{t \in T} (1+r)^{(1-t)} fcl(Y_{i,j,t} - Y_{i,j,t-1}) dis_{i,j} \\ & + \sum_{\omega \in \Omega} p(\omega) \theta(\omega) \end{aligned} \quad (27)$$

$$X_{i,k,t} = \begin{cases} 1 & \text{if } X_{i,k,t} \geq \delta_X \\ 0 & \text{if } X_{i,k,t} \leq 1 - \delta_X \\ \text{unfixed} & \text{otherwise} \end{cases} \quad (i, k) \in FPG, t \in T \quad (35)$$

$$Y_{i,j,t} = \begin{cases} 1 & \text{if } Y_{i,j,t} \geq \delta_Y \\ 0 & \text{if } Y_{i,j,t} \leq 1 - \delta_Y \\ \text{unfixed} & \text{otherwise} \end{cases} \quad (i, j) \in PL, t \in T \quad (36)$$

که در آن پارامترهای δ_X و δ_Y به ترتیب آستانه‌ی نزدیکی مورد نظر برای گردسازی X و Y به مقدار یک هستند.

بعد از تعیین مقادیر متغیرهای مرحله‌ی اول ثابت، در قدم بعدی نیاز است که مقادیر متغیرهای غیرثابت مشخص شوند. برای تعیین این متغیرها، برای تعداد محدودتری از سناریوها که هوشمندانه انتخاب شده‌اند، مدل پایه حل می‌شود. الگوریتم انتخاب سناریوها در زیربخش بعدی تشریح می‌شود.

الگوریتم انتخاب سناریوها

این زیربخش الگوریتمی برای انتخاب سناریوها معرفی می‌کند تا بتوان تعداد سناریوها را به دلخواه کم کرد به نحوی که سطح اطلاعات کمتری در اثر حذف سناریوهای غیر منتخب از بین بروند. این الگوریتم بر مبنای رویکرده است که در مقاله^[۵۲] ارائه شده است. در ابتدا الگوریتم تمام سناریوها را نرمال‌سازی می‌کند و سپس هر جفت سناریو را بر مبنای محاسبه‌ی فاصله‌ی آن‌ها مقایسه می‌کند. در نهایت نزدیک‌ترین سناریوها به هر سناریو حذف می‌شوند و توزیع احتمال به روزرسانی می‌شود. این فرایند تا رسیدن به تعداد سناریوهای دلخواه ادامه می‌یابد. فرض کنید (ω^*, u) بردار سطري متناظر با تمام پارامترهای تصادفي تحت سناریوی ω^* و u باشد. مراحل الگوریتم انتخاب سناریوها به شرح زیر است:

گام ۱. فرض کنید SS مجموعه سناریوهای انتخاب شده باشد:

گام ۲. تمام سناریوها را درون مجموعه SS قرار دهید؛

گام ۳. (ω^*, u) را برای تمام مقادیر $(\omega, u) \in U, \omega \in \Omega$ نرمال‌سازی کنید؛

گام ۴. فاصله‌ی تمام جفت سناریوها را به صورت

$\|(\omega^*, u) - (\omega, u)\|$ محاسبه کنید؛

گام ۵. نزدیک‌ترین سناریو به هر سناریوی $\omega \in SS$ را محاسبه کنید:

$$\omega^* = \arg \min_{\omega' \in SS, \omega' \neq \omega} \|(\omega^*, u) - (\omega, u)\|$$

گام ۶. $p(\omega^*) = \arg \min_{\omega \in SS} p(\omega) dt(\omega, v(\omega))$ را محاسبه کنید؛

گام ۷. احتمال $(p(v(\omega')) + p(\omega')) / (p(v(\omega')) + p(\omega'))$ و مجموعه‌ی $SS \setminus \{\omega'\}$ را به روزرسانی کنید؛

گام ۸. گام‌های ۵ الی ۷ را تکرار کنید تا به تعداد دلخواه از سناریوها در مجموعه‌ی SS باقی بماند.

برای نرمال‌سازی پارامترهای تصادفی از رابطه‌ی زیر استفاده می‌شود:

$$\hat{\xi}^u(\omega) = \frac{\max_{\omega \in \Omega} \xi^u(\omega) - \min_{\omega \in \Omega} \xi^u(\omega)}{\max_{\omega \in \Omega} \xi^u(\omega) - \min_{\omega \in \Omega} \xi^u(\omega)}, \quad u \in U, \omega \in \Omega$$

متغیرهای دوگان، برش‌های بهینه‌گری جدیدی به مسئله‌ی اصلی افزوده می‌گردد که موجب بهبود کردن پایین مسئله می‌شوند. این روند تا همگرایی کران‌های بالا و پایین مسئله ادامه خواهد یافت. سرعت این فرایند می‌تواند با روش‌هایی بهبود یابد که در ادامه به برخی از آن‌ها پرداخته می‌شود که بر حل مدل ما به طور چشم‌گیری تأثیرگزاردند.

۱.۴. تسریع الگوریتم حل

تا کنون روش‌های متعددی برای بهبود عملکرد تجزیه‌ی بندز را راه شده‌اند. در ادامه روش‌های بکارگرفته برای تسریع الگوریتم بندز پیشنهادی توضیح داده می‌شوند.

۱.۴.۱. ساختار برش

در الگوریتم حل پیشنهادی برای کاهش تکرارهای الگوریتم از برش‌های چندبرشی استفاده می‌شود.^[۵۳] توجه کنید که ساختار این برش‌ها در حال حاضر در محدودیت ۲۸ مسئله‌ی اصلی معرفی شده است. ضمناً به خاطر داشته باشید که در الگوریتم از برش‌های شدنی بودن استفاده نشده است؛ زیرا برای هر جواب موجه مرحله‌ی اول، تمام زیرمسئلئ تحت هر سناریو همواره موجه هستند.

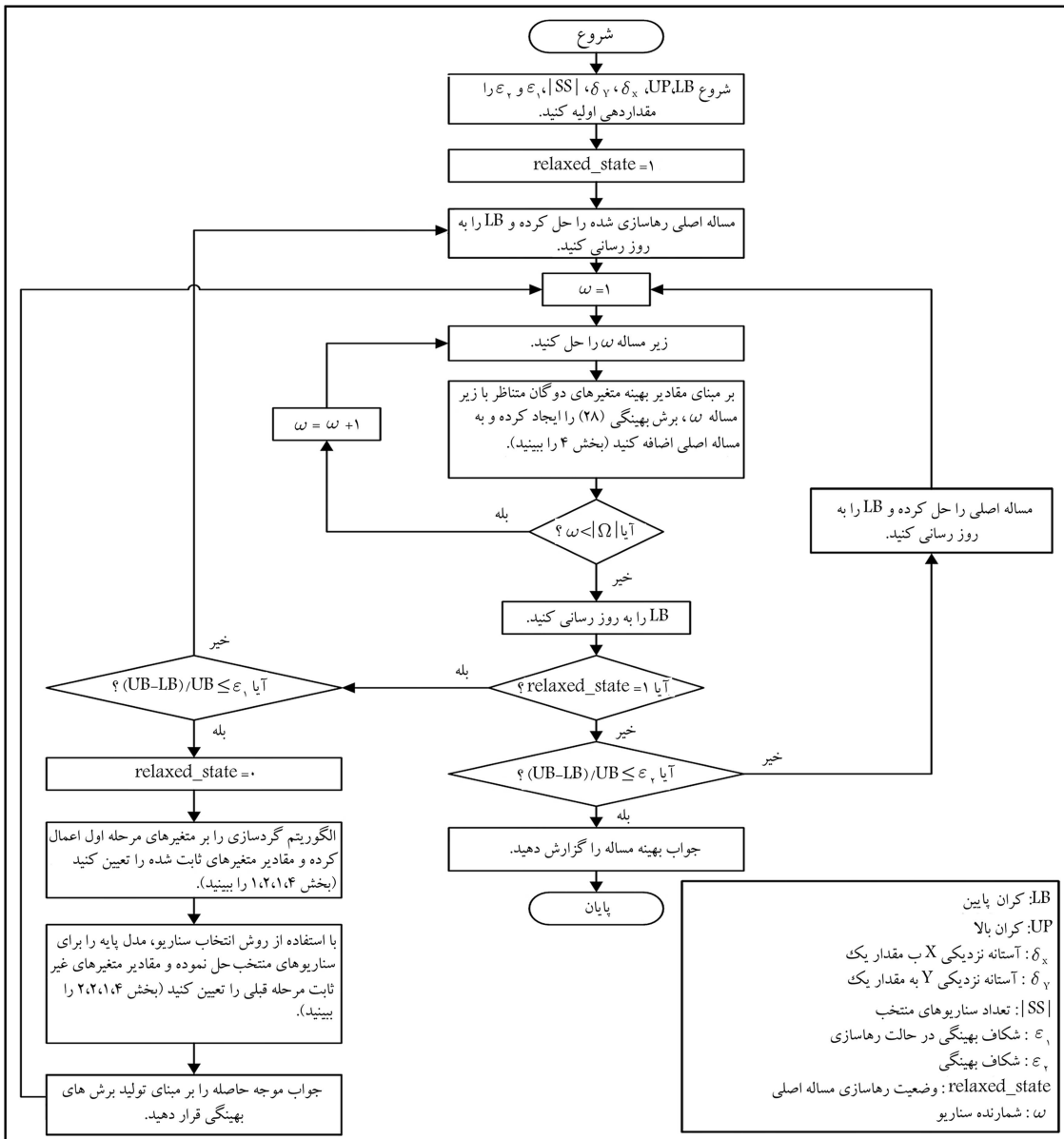
۱.۴.۲. رهاسازی مسئله‌ی اصلی

در این رویکرد ابتدا با حذف شرط صفر و یک بودن مقادیرهای مرحله‌ی اول، مسئله‌ی اصلی را رهاسازی می‌کنیم. این فرایند تا دست‌یابی الگوریتم به یک شکاف بهینه‌گری قابل قبول ادامه خواهد یافت. سپس از جواب و کران حاصل از مسئله‌ی اصلی رهاسازی شده در الگوریتم تجزیه‌ی بندز بهره گرفته می‌شود. باید توجه کرد استفاده از جواب موجه ساخته شده می‌باشد که بر حل مسئله‌ی اصلی رهاسازی شده یک مجموعه اولیه از برش‌های بسیار مؤثر را برای مسئله‌ی اصلی به دست خواهد داد. برای ساخت یک جواب موجه بر اساس جواب مسئله‌ی رهاسازی شده، ابتدا با استفاده از یک الگوریتم گردسازی^[۱۵] دسته‌ی از متغیرهای مرحله‌ی اول با مقادیر غیرصحيح در حل حاصل گسته‌سازی می‌شوند. متغیرهایی که این روش برای گسته‌سازی انتخاب می‌کنند، آنها باید هستند که با صفر یا یک فاصله‌ی کمی دارند. بعد از تعیین مقادیر این متغیرها، مدل پایه به ازای زیرمجموعه‌ی از سناریوهای منتخب و به منظور تعیین مقادیر متغیرهای مرحله‌ی اول غیرثابت حل می‌شود. این روند متتابع به یک جواب موجه برای مسئله‌ی اصلی خواهد شد. بر اساس این حل، برش‌های بهینه‌گری تولید می‌شوند که سرعت همگرایی را بسیار تسریع می‌کنند؛ چرا که این حل نوعاً نزدیک جواب بهینه‌ی اصلی مدل پایه است. اگر آر ابتدا الگوریتم بندز استاندارد به کارگرفته شود، کران پایین صفر خواهد شد و عملاً الگوریتم پیشرفته نخواهد داشت.

الگوریتم پیشنهادی در شکل ۱ نشان داده شده است. توجه شود که برای سهولت در نمایش فاچارت این الگوریتم، فرض شده است که مجموعه‌ی Ω شامل اعداد $1 \dots |\Omega|$ است. در زیربخش‌های بعد به توصیف اجزای اصلی این الگوریتم خواهیم پرداخت.

الگوریتم گردسازی

بعد از حصول یک جواب از الگوریتم بندز در حالت رهاسازی شده، الگوریتم گردسازی متغیرهای مرحله‌ی اول را به دو دسته‌ی ثابت و غیرثابت تقسیم می‌کند. متغیرهای ثابت آنها باید هستند که در جواب مذکور مقادیری نزدیک به یک یا صفر گرفته‌اند. برای دسته‌ی متغیرهای ثابت، الگوریتم مقادیر جدید را با گردسازی مقادیر قبلی تعیین می‌کند. این الگوریتم به صورت زیر هر متغیر مرحله‌ی اولی را که به اندازه‌ی کافی به مقدار صفر یا یک نزدیک باشد، گرد می‌کند و ثابت می‌کند:



شکل ۱. فلوچارت الگوریتم پیشنهادی.

با اندازه‌ی کوچک و با اندازه‌ی متوسط و بزرگ بهره گرفته شده است. در این مسائل از مقایسه‌ی زمان حل مورد نیاز الگوریتم پیشنهادی با زمان حل نرم‌افزار CPLEX به عنوان یک روش حل رقیب استفاده شده است. الگوریتم پیشنهادی در محیط GAMS نسخه‌ی ۲۳ پیاده‌سازی شده و از حل‌گر CPLEX برای حل مدل‌های برنامه‌ریزی خطی عدد صحیح مخلوط استفاده شده است. محاسبات بر روی یک رایانه‌ی Pentium ۴ با سرعت پردازش ۲/۷ گیگاهرتز میزان حافظه‌ی ۲ گیگابایت و مجهز به سیستم عامل ویندوز ۷ صورت گرفته است. در ادامه نتایج عددی ارائه می‌شوند.

که در آن (ω)th پارامتر حاصل از نرمال‌سازی است. حال مدل پایه به ازای زیرمجموعه‌ی انتخاب شده‌ی SS از سناریوها به منظور تعیین مقادیر متغیرهای مرحله‌ی اول غربایت حل می‌شود. سپس جواب حاصل به عنوان یک جواب شدنی مسئله‌ی اصلی، که نزدیک به جواب بهینه‌ی مدل پایه است، در الگوریتم تجزیه‌ی بندرز اصلی برای تولید برش‌های بهینگی مورد استفاده قرار می‌گیرد. برای هر جواب مسئله‌ی اولیه تمام زیرمسائل شدنی‌اند، پس از این جهت نگرانی وجود ندارد.

۱.۵. مسائل با ابعاد کوچک

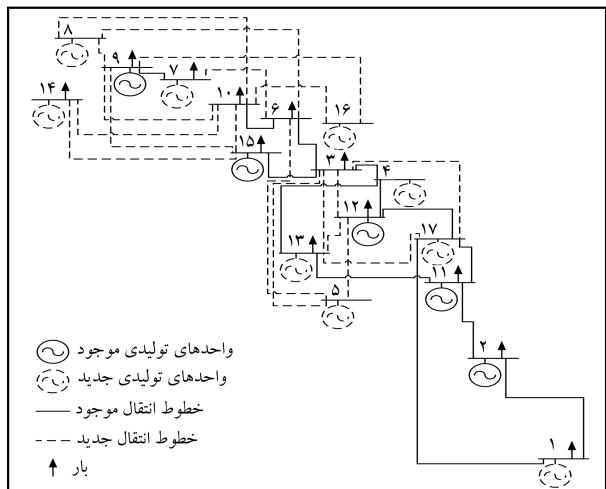
برای بررسی کارایی الگوریتم پیشنهادی در ابعاد کوچک از پانزده مثال عددی کمک

۵. ارزیابی الگوریتم پیشنهادی

به منظور ارزیابی کارایی و عملکرد الگوریتم پیشنهادی، از دو دسته مسائل آزمایشی

جدول ۲. مقایسه‌ی الگوریتم پیشنهادی در ابعاد متوسط با نرم‌افزار CPLEX.

| NO. | $ N $ | $ TG \times T $ | $ \Omega $ | زمان حل CPLEX | زمان حل الگوریتم پیشنهادی |
|-----|-------|-------------------|------------|------------------|---------------------------------|
| ۱۶ | ۲۴ | ۳۲ | ۵۰ | ۵۴۲,۹ | ۱۶۵,۲ |
| ۱۷ | ۳۱ | ۳۲ | ۵۰ | ۴۴۲۱,۱ | ۴۳۹,۹ |
| ۱۸ | ۳۸ | ۳۲ | ۵۰ | ۹۷۳۵,۰ | ۷۹۴,۵ |
| ۱۹ | ۴۵ | ۳۲ | ۵۰ | ۱۸۹۳۴,۳ | ۱۰۲۴,۷ |
| ۲۰ | ۵۲ | ۳۲ | ۵۰ | ۳۶۵۳۷,۴ | ۱۴۸۳,۹ |
| ۲۱ | ۵۹ | ۳۲ | ۵۰ | ۷۴۹۹۶,۲ | ۱۹۴۲,۷ |
| ۲۲ | ۶۶ | ۳۲ | ۵۰ | ۱۴۶۸۵۸,۲ | ۲۱۰۸,۴ |
| ۲۳ | ۷۳ | ۱۴۴ | ۱۰۰ | ساعت ۴۸ < | ۲۹۰۳,۶ |
| ۲۴ | ۸۰ | ۱۴۴ | ۱۰۰ | ساعت ۴۸ < | ۳۷۲۰,۸ |
| ۲۵ | ۸۷ | ۱۴۴ | ۱۰۰ | ساعت ۴۸ < | ۴۲۲۵,۷ |
| ۲۶ | ۹۴ | ۱۴۴ | ۱۰۰ | ساعت ۴۸ < | ۵۰۳۶,۱ |
| ۲۷ | ۱۰۱ | ۱۴۴ | ۱۰۰ | ساعت ۷۲ < | ۵۹۴۲,۸ |
| ۲۸ | ۱۱۰ | ۱۴۴ | ۱۰۰ | ساعت ۷۲ < | ۶۸۸۷,۲ |
| ۲۹ | ۱۲۰ | ۱۴۴ | ۱۰۰ | ساعت ۷۲ < | ۷۰۸۹,۴ |
| ۳۰ | ۱۵۰ | ۱۴۴ | ۱۰۰ | ساعت ۴۸ < | ۷۹۲۳,۳ |



شکل ۲. دیاگرام تک خطی شبکه‌ی برق ۴۰۰ کیلوولت شمال غرب ایران.

۳۲ خط انتقال می‌شود که دیاگرام تک خطی آن در شکل ۲ نشان داده شده است. همان‌طور که در این شکل دیده می‌شود، ۹ گره به عنوان مکان نامزد برای احداث واحدهای تولیدی جدید در نظر گرفته شده‌اند. مطالعات امکان سنجی در ارتباط با واحدهای تولیدی جدید در نظر گرفته شده‌اند. مطالعات امکان سنجی در ارتباط با مکان‌های بالقوه و فناوری‌های تولیدی ممکن در هر یک از این مکان‌ها توسعه شرکت مادر تخصصی توانیر انجام گرفته‌اند که سازمان مسئول در حوزه‌ی صنعت برق ایران است.^[۵۴]

واحدهای تولیدی می‌توانند شامل چهار نوع فتاوری تولیدی مختلف شوند که عبارت‌اند از توربین بخاری (ST)^[۱۶]، توربین گازی (CT)^[۱۷]، سیکل ترکیبی (CC)^[۱۸] و برق آبی (Hy)^[۱۹]. بیشترین ظرفیت واحدهای تولیدی در جدول ۳ ارائه شده است. محدودیت ظرفیت خطوط انتقال بر حسب طول آن‌ها تعیین می‌شود. برای خطوط کمتر از ۲۰۰ کیلومتر بیشینه‌ی توان عبوری برابر با ۱۲۰۰ مگاوات در نظر گرفته شده و برای خطوط بین ۲۰۰ تا ۴۵۰ کیلومتر این مقدار برابر با ۹۰۰ مگاوات است.

جدول ۱. مقایسه‌ی الگوریتم پیشنهادی در ابعاد کوچک با نرم‌افزار CPLEX.

| NO. | $ N $ | $ TG \times T $ | $ \Omega $ | زمان حل CPLEX | زمان حل الگوریتم پیشنهادی |
|-----|-------|-------------------|------------|------------------|---------------------------------|
| ۱ | ۶ | ۲ | ۱۰ | ۷,۳ | ۱۳,۶ |
| ۲ | ۷ | ۲ | ۱۰ | ۸,۰ | ۱۷,۶ |
| ۳ | ۸ | ۲ | ۱۰ | ۸,۱ | ۱۵,۴ |
| ۴ | ۹ | ۲ | ۲۰ | ۶,۳ | ۱۵,۲ |
| ۵ | ۱۰ | ۲ | ۲۰ | ۷,۴ | ۱۴,۲ |
| ۶ | ۸ | ۴ | ۱۰ | ۹,۴ | ۱۰,۸ |
| ۷ | ۹ | ۴ | ۱۰ | ۷,۳ | ۱۰,۳ |
| ۸ | ۱۰ | ۴ | ۱۰ | ۶,۴ | ۱۰,۴ |
| ۹ | ۱۱ | ۴ | ۲۰ | ۹,۸ | ۱۵,۴ |
| ۱۰ | ۱۲ | ۴ | ۲۰ | ۷,۵ | ۱۸,۱ |
| ۱۱ | ۱۰ | ۸ | ۱۰ | ۹,۲ | ۱۷,۴ |
| ۱۲ | ۱۱ | ۸ | ۱۰ | ۱۱,۸ | ۲۴,۷ |
| ۱۳ | ۱۲ | ۸ | ۱۰ | ۱۳,۸ | ۳۲,۹ |
| ۱۴ | ۱۳ | ۸ | ۲۰ | ۲۲,۴ | ۴۹,۷ |
| ۱۵ | ۱۴ | ۸ | ۲۰ | ۳۴,۱ | ۵۷,۵ |

گرفته شده است. این مثال‌ها به کمک نرم‌افزار CPLEX حل شده‌اند که نتایج حاصل از این مقایسه در جدول ۱ گزارش شده است. در این جدول زمان‌ها بر حسب ثانیه هستند. با توجه به زمان مورد نیاز حل این مسائل آزمایشی توسط الگوریتم پیشنهادی و مقایسه‌ی آن با زمان مورد نیاز نرم‌افزار CPLEX، کارایی کمتر این الگوریتم در ابعاد کوچک مشخص می‌شود. این مشاهده مورد انتظار است؛ زیرا عملکرد روش بندز و قیمتی نمایان می‌شود که تعداد سناریوها بالا باشد.

۲.۵. مسائل با ابعاد متوسط و بزرگ

به منظور ارزیابی کارایی الگوریتم پیشنهادی در ابعاد متوسط و بزرگ از پانزده مثال عددی کمک گرفته شده است. این مثال‌ها همچنین به کمک نرم‌افزار CPLEX حل شده‌اند که نتایج حاصل از این مقایسه در جدول ۲ گزارش شده است. در این جدول نیز زمان‌ها بر حسب ثانیه هستند.

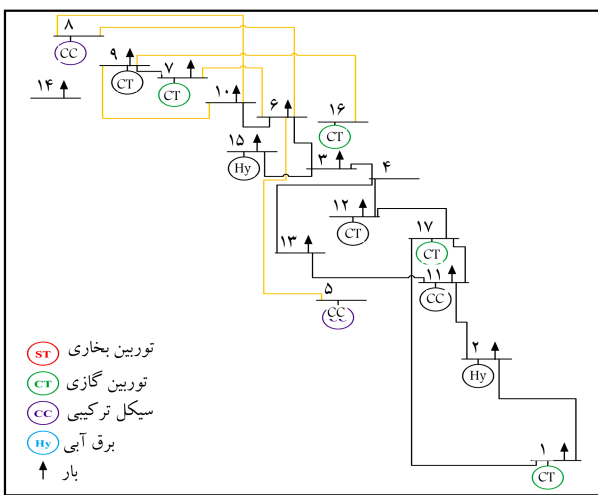
با توجه به نتایج این جدول مشخص می‌شود که زمان حل الگوریتم پیشنهادی از زمان حل نرم‌افزار CPLEX به طور معناداری کمتر است. مشاهده می‌شود که در ابعاد بالاتر حل مدل توسط نرم‌افزار حتی در چند روز هم میسر نیست؛ در حالی که الگوریتم پیشنهادی در زمانی معقول به جواب بشهیه می‌رسد. این تحلیل عددی به خوبی بر کارایی بالای الگوریتم پیشنهادی در ابعاد بزرگ دلالت دارد.

۶. مطالعه‌ی موردنی

به منظور جامعیت‌بخشی به این مقاله، قسمتی از نتایج عددی به کارگیری مدل اصلی بر روی مطالعه‌ی موردنی در مقاله‌ی قبلی نویسنگان^[۱] در اینجا به زبان فارسی ارائه می‌شود تا خوانندگان بتوانند جنبه‌های کاربردی و حل مدل را در یکجا به سهولت ملاحظه کنند. مطالعه‌ی موردنی نظر بر اساس شبکه‌ی برق ۴۰۰ کیلوولت شمال غرب ایران در یک افق زمانی ۱۰ دوره‌یی است. این شبکه شامل ۱۷ گره و

جدول ۵. خطوط انتقال جدید.

| دوره | از گره | به گره |
|------|--------|--------|
| ۱ | ۵ | ۶ |
| ۱ | ۶ | ۷ |
| ۱ | ۶ | ۸ |
| ۱ | ۸ | ۱۰ |
| ۱ | ۹ | ۱۰ |
| ۱ | ۹ | ۱۶ |
| ۲ | ۱۰ | ۱۴ |
| ۲ | ۱۰ | ۱۵ |
| ۱۰ | ۱۳ | ۳ |



شکل ۳. دیاگرام تکخطی شبکه‌ی قدرت بهینه در دوره‌ی برنامه‌ریزی ۱.

دوره‌ی اول، دوم و دهم برای افق برنامه‌ریزی ۱۰ دوره‌یی به نمایش می‌گذارند (تهما در این دوره‌ها توسعه تولید یا انتقال صورت گرفته است). دیده می‌شود که هزینه‌ی کل ایجاد شبکه‌ی نیرو در حالت بهینه ۲۰,۶ میلیارد دلار است. بعلاوه، کل قدرت نصب شده برابر ۹۹۰۵ مگاوات است. طرح توسعه‌ی تولید شامل دوره‌های ۱ و ۲ می‌شود. نیروگاه‌های سیکل ترکیبی با سهم ۲٪ فتاوری غالب مورد استفاده هستند و نیروگاه‌های گازی با سهم ۱٪ از کل قدرت نصب شده در مکان بعدی قرار می‌گیرند. ظرفیت کل شبکه‌ی انتقال برابر با ۴۱۱۰ مگاوات است که در این بین خطوط انتقال جدید ۲۵٪ از کل این ظرفیت را به خود اختصاص می‌دهند. طرح توسعه‌ی انتقال دوره‌های ۱، ۲ و ۱۰ را در بر می‌گیرد.

توجه کنید که در این مسئله، بیشینه‌ی سطح نویز مجاز در هر گره برابر با ۷۰ دسی‌بل و کمینه‌ی نزدیکی انتقال اجتماعی برابر با ۰٪ در نظر گرفته شده است.

۲.۶. تأثیر در نظر گرفتن ریسک اختلال در GTEP

در این بخش نتایج مدل پایه را با حالتی مقایسه می‌کنیم که در آن اختلالات حین برنامه‌ریزی در نظر گرفته نمی‌شوند. در این حالت، بعد از اصلاح تمام جملاتی که منعکس‌کننده‌ی ریسک اختلال هستند، مدل بدون ریسک اختلال به دست می‌آید که شامل عبارات (۱)–(۹)، (۱۰)–(۲۰)، (۲۵)–(۲۶)، (۳۷)–(۴۰) است. در این

جدول ۳. بیشترین ظرفیت واحدهای تولیدی (مگاوات).

| فناوری | گره | دوره | سیکل | توربین | برق آبی |
|--------|-----|------|------|--------|---------|
| ۱ | ۱ | ۵۰ | ۶۵۰ | ۵۰۰ | |
| ۲ | | | | | ۱۰۰۰ |
| ۴ | | | | | ۲۰۹۲ |
| ۵ | | | | | ۸۳۴ |
| ۷ | | | | | ۷۷۲ |
| ۸ | | | | | ۳۲۰ |
| ۹ | | | | | ۱۶۲ |
| ۱۱ | | | | | ۳۲۲ |
| ۱۲ | | | | | ۱۱۸۹ |
| ۱۳ | | | | | ۴۰۳ |
| ۱۴ | | | | | ۱۷۳۵ |
| ۱۵ | | | | | ۵۰۰ |
| ۱۶ | | | | | ۶۵۱ |
| ۱۷ | | | | | ۳۷۵ |

جدول ۴. واحدهای تولیدی جدید.

| فناوری | گره | دوره |
|--------|-----|------|
| CT | ۱ | ۱ |
| CC | ۵ | ۱ |
| CT | ۷ | ۱ |
| CC | ۸ | ۱ |
| CT | ۱۶ | ۱ |
| CT | ۱۷ | ۱ |
| CC | ۱۳ | ۲ |
| ST | ۱۴ | ۲ |
| CC | ۱۴ | ۲ |

برای جزئیات فنی بیشتر درباره‌ی واحدهای تولیدی و خطوط انتقال به گزارش‌های رسمی و آمار تفصیلی صنعت برق ایران در حوزه‌ی تولید و انتقال نیروی برق مراجعه کنید.^[۵۶-۵۴]

در این مطالعه‌ی موردنی در مجموع از ۱۰۰ ستاریوی تصادفی مختلف که امکان وقوع معقولی دارند، بهره گرفته شده است. برای اطلاع از نحوه‌ی تولید این ستاریوها به مقاله^[۱۱] مراجعه کنید.

۱.۶. مدل تصادفی پایدار GTEP

در این بخش قصد داریم تا مدل پایه را برای شبکه‌ی قدرت معرفی شده پیاده‌سازی کنیم و سپس به بحث و بررسی نتایج پردازیم. نتایج در جدول‌های ۴ و ۵ گزارش شده‌اند. شکل‌های ۳، ۴ و ۵ ساختار بهینه‌ی شبکه‌ی نیرو را به ترتیب در سه

جدول ۶. تأثیر در نظر نگرفتن ریسک اختلال.

| هزینه‌ی کل انتقال | قدرت نصب شده شبکه‌ی ان্টقال | ظرفیت شبکه‌ی ان্টقال |
|----------------------|-----------------------------------|-------------------------|
| ↓ % ۵/۸ | ↓ % ۱۷/۵ | ↑ % ۸/۹ |

آشکار می‌سازد که اگر از مدلی استفاده کنیم که تأثیرات اختلال را در نظر نمی‌گیرد، راه حل نهایی افزایش % ۸/۹ در هزینه‌ی کل را به طور میانگین نشان می‌دهد که مقادیر معنادار و بزرگی است (جدول ۶). نتایج همچنین کاهش % ۱۷/۵ در کل قدرت نصب شده را نشان می‌دهد. در این حالت، نیروگاه‌های سیکل ترکیبی با سهم % ۵۷/۳ فتاوری غالب باقی می‌مانند و نیروگاه‌های گازی با سهم % ۴۰/۳۰ از کل قدرت نصب شده در ردیف بعدی قرار می‌گیرند. در حقیقت نیروگاه‌های بخاری هنگامی که اختلالات در نظر گرفته نمی‌شوند، احداث نمی‌شوند. کل ظرفیت شبکه‌ی ان্টقال % ۸/۵ کاهش می‌یابد. واحدهای تولیدی جدید در دوره‌های ۱ و ۲ باز می‌شوند و طرح توسعه‌ی ان্টقال شامل دوره‌های ۱ و ۱۰ می‌شود.

۶.۶ تأثیر یکپارچه‌سازی TEP و GEP

این بخش روش یکپارچه‌سازی GTEP را با روش سنتی مرسوم مقایسه می‌کند که در آن مدل‌های GEP و TEP به طور متواالی حل می‌شوند. مدل GEP به صورت زیر است:

$$\begin{aligned} \min & \sum_{(i,k) \in FPG} \sum_{t \in T} (1+r)^{(1-t)} f_{cg_{i,k}} (X_{i,k,t} - X_{i,k,t-1}) \bar{cg}_{i,k} \\ & + \sum_{\omega \in \Omega} p(\omega) \times \\ & \left[\sum_{(i,k) \in FNG} \sum_{t \in T} (1+r)^{(1-t)} d_{ut} o m_{i,k,t}(\omega) P_{i,k,t}(\omega) \right. \\ & + \sum_{i \in N} \sum_{t \in T} (1+r)^{(1-t)} l_{ci} d_{ut} R_{i,t}(\omega) \\ & \left. + ec_{CO_t} SC_{CO_t}(\omega) \right] \end{aligned} \quad (41)$$

s.t.

$$(4)-(8), (8), (10), (11), (18), (25), (26)$$

$$\sum_{(i,k) \in FNG} P_{i,k,t}(\omega) + \sum_{i \in N} R_{i,t}(\omega) = \sum_{i \in N} d_{i,t}(\omega) \quad t \in T, \omega \in \Omega \quad (42)$$

که در تابع هدف ۴۱ هزینه‌ی کل شامل هزینه‌های تولید، توسعه‌ی پایدار (بعد اجتماعی-ریستمحیطی) و کاهش بار کمینه می‌شود. دسته محدودیت‌های ۴۲ تعادل بین تقاضا، تولید و کاهش بار را نشان می‌دهند.

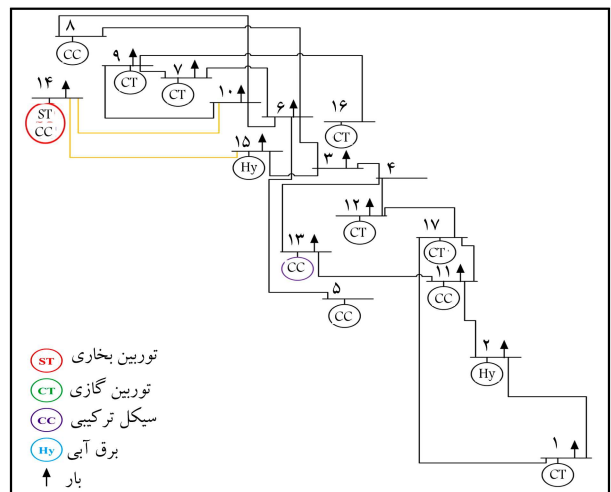
مدل TEP را می‌توان به صورت زیر ارائه کرد:

$$\min \sum_{(i,j) \in PL} \sum_{t \in T} (1+r)^{(1-t)} f_{cl} (Y_{i,j,t} - Y_{i,j,t-1}) dis_{i,j}$$

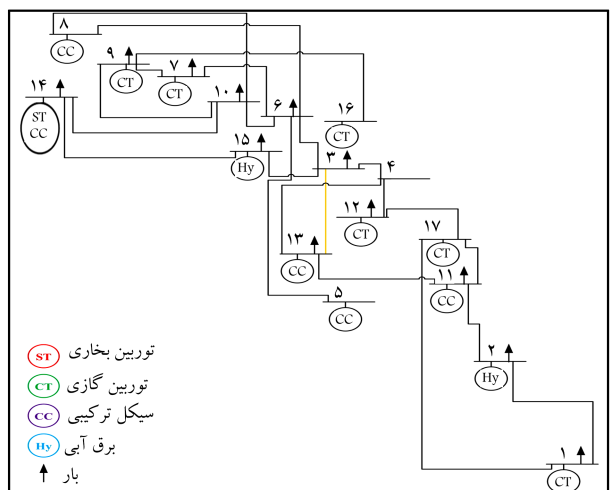
s.t.

$$(5), (7), (9)-(20), (26) \quad (43)$$

که در آن تابع هدف ۴۳ هزینه‌ی کل ساخت خطوط ان্টقال جدید را در بر می‌گیرد. مدل GEP با استفاده از نسخه‌ی اصلاح شده‌ی از الگوریتم پیشنهادی حل می‌شود



شکل ۴. دیاگرام تک خطی شبکه‌ی قدرت بهینه در دوره‌ی برنامه‌ریزی ۲.



شکل ۵. دیاگرام تک خطی شبکه‌ی قدرت بهینه در دوره‌ی برنامه‌ریزی ۱۰.

مدل، محدودیت‌های ۴۰-۳۷ به صورت زیر تعریف می‌شوند:

$$P_{i,k,t}(\omega) \leq \bar{cg}_{i,k} \quad (i, k) \in FEG, t \in T, \omega \in \Omega \quad (37)$$

$$P_{i,k,t}(\omega) \leq \bar{cg}_{i,k} X_{i,k,t} \quad (i, k) \in FPG, t \in T, \omega \in \Omega \quad (38)$$

$$-\bar{fl}_{i,j} \leq PF_{i,j,t}(\omega) \leq \bar{fl}_{i,j} \quad (i, j) \in EL, t \in T, \omega \in \Omega \quad (39)$$

$$-\bar{fl}_{i,j} Y_{i,j,t} \leq PF_{i,j,t}(\omega) \leq \bar{fl}_{i,j} Y_{i,j,t} \quad (i, j) \in PL, t \in T, \omega \in \Omega \quad (40)$$

محدودیت‌های ۳۷ و ۳۸ محدودیت‌های ظرفیت در هر واحد تولیدی و محدودیت‌های ۳۹ و ۴۰ محدودیت‌های ظرفیت در هر خط ان্টقال هستند. انحراف تابع هدف از حل به دست آمده توسط مدل بدون ریسک اختلال از مقادیر بهینه‌ی مدل پایه نشان دهنده‌ی هزینه‌ی مورد انتظار تحمیل شده بر سیستم مبتنی بر رویکرد سنتی است هنگامی که اختلالات اتفاق می‌افتد. مقایسه نتایج

جدول ۷. تأثیر عدم یکپارچه سازی.

| هزینه های کل | قدرت نصب شده | ظرفیت شبکه های |
|--------------|--------------|----------------|
| انقال | | |
| ۰ | ۱٪۲/۸ | ۱٪۴/۱ |

جدول ۸. تأثیر در نظر گرفتن پایداری.

| هزینه های کل | ظرفیت نیروگاهها | پیامدها |
|--------------------|-----------------|---------|
| نقض محدودیت های | | |
| ۱٪۵/۱ | ۱٪۱۶/۷ | ۱٪۵/۱ |
| اجتماعی-زیست محیطی | | |

جدول ۹. تأثیر افزایش در سیاست پذیرش اجتماعی.

| هزینه های کل | قدرت نصب شده | ظرفیت شبکه های |
|--------------|--------------|----------------|
| انقال | | |
| ۱٪۸/۸ | ۱٪۱۵/۵ | ۱٪۱۹/۹ |

جدول ۱۰. تأثیر کاهش در سیاست انتشار نویز.

| هزینه های کل | قدرت نصب شده | ظرفیت شبکه های |
|--------------|--------------|----------------|
| انقال | | |
| ۱٪۲/۹ | ۱٪۷/۴ | ۱٪۶/۷ |

۵. تحلیل حساسیت

برای یک سیستم قدرت با سطح بالایی از پایداری، مقدار بزرگی برای ρ_{sa} و مقدار کوچکی برای $\bar{\rho}_{noise}$ ترجیح دارد؛ اما این امر موجب تحمل هزینه های بیشتری بر سیستم می شود. در زیر بخش های پیش رو به منظور نشان دادن چگونگی تأثیر انتخاب این پارامترها بر هزینه کل توسعه ای شبکه های نیرو در تحلیل حساسیت ارائه خواهد شد. این نوع تحلیل ها می توانند مبنای برای تنظیم مقادیر مناسب این پارامترها برای سیاست گذاران باشند.

۵.۱. تأثیر سیاست پذیرش اجتماعی

در این بخش مدل پیشنهادی تحت افزایش در سیاست پذیرش اجتماعی یعنی $\rho_{sa} = ۰,۶۵$ ارزیابی می شود. این مطالعه بر تأثیر بالای این سیاست بر هزینه های نهایی ایجاد شبکه های نیرو تأکید می کند و اهمیت اتخاذ سیاست پذیرش اجتماعی مناسب را مشخص می سازد.

هزینه های کل راه حل به دست آمده برای سیاست پذیرش اجتماعی $= ۰,۶۵$ به میزان ۱۹٪ افزایش از خود نشان می دهد (جدول ۹). طرح توسعه ای تولید شامل دوره های ۱ و ۲ می شود؛ در حالی که خطوط انتقال جدید در دوره های ۱، ۲ و ۱۰ ساخته می شوند. به علاوه، کاهش ۱۵٪ در کل قدرت نصب شده دیده می شود. نیروگاه های سیکل ترکیبی با سهم ۱٪۵۱ از خود نیروگاه های پایداری می شوند. نیروگاه های گاری با سهم ۲٪۲۹ از کل قدرت نصب شده در مکان دوم قرار می گیرند. ۰,۸٪ کاهش نیز در کل ظرفیت شبکه های انتقال مشاهده می شود.

۵.۲. تأثیر سیاست انتشار نویز

در این بخش تأثیر سیاست انتشار نویز $\bar{\rho}_{noise}$ بر هزینه های کل احداث و ساختار سیستم قدرت بررسی می شود. بدین منظور این سیاست از ۷۰ دسی بل به ۶۷ دسی بل کاهش داده می شود و تأثیر آن بر سیستم نهایی ارزیابی می شود. تحت شرایط سیاست انتشار نویز $= ۶۷dB$ در هزینه های کل در مقایسه با حالت $= ۷۰dB$ ۰,۶٪ می دهد (جدول ۱۰). واحد های تولیدی جدید در دوره های ۱ و ۲ احداث می شوند و خطوط انتقال جدید در دوره های ۱، ۵ و ۱۰ نصب می شوند. این نتایج نشان دهنده تأثیر معنادار در نظر گرفتن وجهه پایداری در مدل پیشنهادی است.

جدول ۸. تأثیر عدم یکپارچه سازی.

| هزینه های کل | قدرت نصب شده | ظرفیت شبکه های |
|--------------|--------------|----------------|
| انقال | | |
| ۰ | ۱٪۲/۸ | ۱٪۴/۱ |

و سپس مدل TEP بر مبنای مقدار به دست آمده برای متغیرهای مستقل از سناریوی حاصل از حل مدل GEP حل می شود. در نهایت جواب حاصل از رویکرد متوالی با مدل یکپارچه های پیشنهادی مقایسه می شود.

دیده می شود که استفاده از روش تربیی هزینه ها را به میزان ۲٪ نسبت به روش یکپارچه افزایش می دهد که مستله را به صورت یکپارچه در نظر می گرد (جدول ۷). همچنین کاهشی ۱٪ در کل ظرفیت نیروگاه ها پدیدار می شود. نیروگاه های سیکل ترکیبی با سهم ۴٪ فتاوری غالب می باشند. کل ظرفیت شبکه های انتقال بدون تغییر باقی میماند. طرح توسعه ای تولید دوره های ۱ و ۲ را در بر می گیرد و طرح توسعه ای انتقال بر دوره های ۱، ۲، ۵ و ۱۰ تأمینگذار است.

نتایج فوق برتری روش یکپارچه را نشان می دهد. این موضوع هم راستا با این مشاهده از ادبیات است که در حال حاضر روش های یکپارچه سازی در حوزه های برنامه ریزی سیستم های ارزیابی به عنوان خطوط تحقیقاتی اصلی مطرح اند.

۶. تأثیر در نظر گرفتن پایداری

در این بخش تأثیر در نظر گرفتن پایداری ارزیابی می شود. بعد از حذف عناصر مرتبه با پایداری مدل زیر به دست خواهد آمد:

$$\begin{aligned} \min & \sum_{(i,k) \in FPG} \sum_{t \in T} (1+r)^{(1-t)} f_{cg,i,k}(X_{i,k,t} - X_{i,k,t-1}) - \overline{cg}_{i,k} \\ & + \sum_{(i,j) \in PL} \sum_{t \in T} (1+r)^{(1-t)} f_{cl}(Y_{i,j,t} - Y_{i,j,t-1}) d_{si,j} \\ & + \sum_{\omega \in \Omega} p(\omega) \times \\ & \left[\sum_{(i,k) \in FNG} \sum_{t \in T} (1+r)^{(1-t)} du_{tom,i,k,t}(\omega) P_{i,k,t}(\omega) \right. \\ & \left. + \sum_{i \in N} \sum_{t \in T} (1+r)^{(1-t)} lc_i du_t R_{i,t}(\omega) \right] \end{aligned} \quad (44)$$

s.t.

$$(5)-(20)$$

که در تابع هدف ۴۴ مجموع هزینه های تولید، انتقال و کاهش بار کمینه می شود. با استفاده از این مدل که از نگرانی های پایداری صرف نظر می کند، کاهش ۰,۵٪ در هزینه های کل را شاهد خواهیم بود (جدول ۸). با این حال جواب نهایی محدودیت ۲۶ را نقض می کند که در آن نرخ متوسط پذیرش اجتماعی ۰,۵۱ می شود. است. به علاوه متوسط نرخ تخطی از محدودیت های انتشار نویز ۲۵ یک دسی بل می شود. این نتایج همچنین افزایش ۱۶٪ در قدرت نصب شده نیروگاه های را نشان می دهدند. به علاوه، افزایش ۴٪ در قدرت نصب شده نیروگاه های بخاری احداث شده قابل مشاهده است. طرح توسعه ای تولید دوره های ۱ و ۳ را تحت تأثیر قرار می دهد و خطوط انتقال جدید در دوره های ۱ و ۲ ساخته می شوند. این نتایج نشان دهنده تأثیر معنادار در نظر گرفتن وجهه پایداری در مدل پیشنهادی است.

است برای به دست آوردن اطلاعات عالی درباره پارامترهای غیرقطعی در هرسناریو همچون تقاضا و قیمت پردازد. مقدار EVPI مدل پیشنهادی 8.7% هزینه‌ی کل است که نشان‌گر ارزشمندی دسترسی به اطلاعات عالی است. پس می‌توان سرمایه‌ی زیادی را برای تحقیق درباره پارامترهای غیرقطعی سیستم قدرت اختصاص داد.

طرح سیستم قدرت باید در تنظیم مقدار مناسب برای این سیاست دقت کافی به خرج دهد. به علاوه، در این حالت جدید می‌توان دید که نیروگاه‌های سیکل ترکیبی و گازی به ترتیب با سهم 51% و 27.2% از کل قدرت نصب شده فناوری‌های تولیدی اصلی می‌گردند. در نهایت کاهش 7.4% در کل قدرت نصب شده وجود دارد و کل ظرفیت شبکه‌ی انتقال نیز کاهش 2.9% از خود نشان می‌دهد.

۷. نتیجه‌گیری

برنامه‌ریزی تولید و انتقال برق یکی از سائل مهم در سیستم‌های قدرت است که از یکسو به دلیل جنبه‌های فنی و از سوی دیگر به دلیل عوامل متعددی که بر آن تأثیرگذارند، دارای پیچیدگی و ابعاد مختلفی است. در این مقاله روش حل مؤثری برای یک مدل برنامه‌ریزی تصادفی چندمرحله‌ی موجود که ابعاد سه‌گانه‌ی پایداری را لحاظ می‌کند، ارائه شد تا بتوان آن را در ابعاد بالا به راحتی استفاده کرد. روش حل مبتنی بر روش تجزیه‌ی بندز است که با ادغام ساختارهای برش و بهره‌گیری از رهاسازی مسئله‌ی اصلی تسریع شده است. نشان داده شد که این روش به صورت چشم‌گیری حل مدل را برای مسایل آزمایشی با ابعاد بالا سرعت می‌بخشد؛ در حالی که نرم‌افزارهای بهینه‌سازی موجود نمی‌توانند مدل پایه را بعد از روزها حل کنند.

در مطالعات آتی می‌توان مدل ریاضی و روش حل مؤثری برای مسئله‌ی مشابه با مسئله بررسی شده در این مقاله در محیط‌های رقابتی ارائه داد. به علاوه می‌توان با در نظر گرفتن انرژی‌های تجدیدپذیر نظیر باد و تابش خورشید علاوه بر گسترش انواع فناوری‌های تولید برق، به جنبه‌های زیستمحیطی و اجتماعی استفاده از چنین منجر شود؛ پس نایاب از ساده‌سازی مبتنی بر یک سناریو استفاده کرد.

۶.۶ مزیت مدل‌سازی چندمرحله‌ی
در این بخش دو شخص ارزش انتظاری اطلاعات عالی (EVPI)^{۲۰} و ارزش راه حل تصادفی (VSS)^{۲۱} برای مدل پیشنهادی محاسبه می‌شوند.^[۴۹] مدل پیشنهادی یک مدل برنامه‌ریزی تصادفی چندمرحله‌ی است که در آن تصمیمات راهبردی درباره واحدهای تولیدی و خطوط انتقال جدید به عنوان تصمیمات اینجاوحالا^{۲۲} در نظر گرفته می‌شوند و تصمیمات درباره‌ی توان تولید شده و جریان نیرو به عنوان تصمیمات بمان و بین^{۲۳} در نظر گرفته می‌شوند که زمانی اتخاذ می‌شوند که تقاضای برق واقعی در هر دوره بر اساس هر سناریو تحقق یابد. بدلیل این‌که مدل‌سازی چندمرحله‌ی نیازمند تلاش محاسباتی بسیار بیشتری برای حل است، علاقه‌مند هستیم تا تأثیر این مدل‌سازی دقیق را اندازه‌گیری کنیم. این امر می‌تواند با استفاده از مقدار VSS میسر شود که هزینه‌ی صرف نظر کردن از عدم قطعیت در روند تصمیم‌گیری را اندازه‌گیری می‌کند. مقدار VSS مدل پیشنهادی برای مطالعه‌ی موردی مدنظر 8.9% از کل هزینه است که نشان می‌دهد که استفاده از برنامه‌ریزی تصادفی چندمرحله‌ی می‌تواند به کاهش معناداری در هزینه‌ی کل منجر شود؛ پس نایاب از ساده‌سازی مبتنی بر یک سناریو استفاده کرد.

از سوی دیگر EVPI بیشترین بهای را اندازه‌می‌گیرد که تصمیم‌گیرنده حاضر

پابنوشت‌ها

1. generation expansion planning (GEP)
2. demand-side management
3. transmission expansion planning (TEP)
4. integrated generation and transmission expansion planning
5. kirchhoff's current law
6. kirchhoff's voltage law
7. benders decomposition
8. primal decomposition
9. L-shaped decomposition
10. recourse decomposition
11. two-stage stochastic linear program
12. master problem
13. sub-problems
14. multi-cut
15. rounding algorithm
16. steam turbine
17. combustion gas turbine
18. combined cycle
19. hydroelectric
20. expected value of perfect information
21. value of the stochastic solution
22. here-and-now
23. wait-and-see

منابع (References)

1. Seddighi, A.H. and Ahmadi-Javid, A. "Integrated multiperiod power generation and transmission expansion planning with sustainability aspects in a stochastic environment", *Energy*, **86**, pp. 9-18 (2015).
2. Park, J.-B., Park, Y.-M., Won, J.-R. and et al. "An improved genetic algorithm for generation expansion planning", *IEEE Transactions on Power Systems*, **15**(3), pp. 916-922 (2000).
3. Firmo, H.T. and Legey, L.F.L. "Generation expansion planning: an iterative genetic algorithm approach", *IEEE Transactions on Power Systems*, **17**(3), pp. 901-906 (2002).
4. Antunes, C.H., Martins, A.G. and Brito, I.S. "A multiple objective mixed integer linear programming model for power generation expansion planning", *Energy*, **29**(4), pp. 613-627 (2004).
5. Yildirim, M., Erkan, K. and Ozturk, S. "Power generation expansion planning with adaptive simulated annealing genetic algorithm", *International Journal of Energy Research*, **30**(14), pp. 1188-1199 (2006).

6. Kannan, S., Baskar, S., McCalley, J.D. and et al. "Application of NSGA-II algorithm to generation expansion planning", *IEEE Transactions on Power Systems*, **24**(1), pp. 454-461 (2009).
7. Jin, S., Ryan, S.M., Watson, J.-P. and et al. "Modeling and solving a large-scale generation expansion planning problem under uncertainty", *Energy Systems*, **2** (3-4), pp. 209-242 (2011).
8. Pereira, A.J.C. and Saraiva, J.T. "Generation expansion planning (GEP) - a long-term approach using system dynamics and genetic algorithms (GAs)", *Energy*, **36**(8), pp. 5180-5199 (2011).
9. Feng, Y. and Ryan, S.M. "Scenario construction and reduction applied to stochastic power generation expansion planning", *Computers & Operations Research*, **40**, pp. 9-23 (2013).
10. Seddighi, A.H. and Ahmadi-Javid, A. "A sustainable risk-averse approach to power generation planning with disruption risk and social responsibility considerations", *Journal of Cleaner Production*, **105**, pp. 116-133 (2015).
11. Jin, S.W., Li, Y.P., Huang, G.H. and et al. "Inexact mixed-integer programming with interval-valued membership function for sustainable power-generation capacity planning", *Journal of Cleaner Production*, **122**, pp. 52-66 (2016).
12. Rodgers, M.D., Coit, D.W., Felder, F.A. and et al. "Generation expansion planning considering health and societal damages - a simulation-based optimization approach", *Energy*, **164**, pp. 951-963 (2018).
13. Meza, J.L.C., Yildirim, M.B. and Masud, A.S.M. "A model for the multiperiod multiobjective power generation expansion problem", *IEEE Transactions on Power Systems*, **22**(2), pp. 871-878 (2007).
14. Sirikum, J., Techanitisawad, A. and Kachitvichyanukul, V. "A new efficient GA-Benders' decomposition method: for power generation expansion planning with emission controls", *IEEE Transactions on Power Systems*, **22**(3), pp. 1092-1100 (2007).
15. Chen, Q., Kang, C., Xia, Q. and et al. "Power generation expansion planning model towards low-carbon economy and its application in China", *IEEE Transactions on Power Systems*, **25**(2), pp. 1117-1125 (2010).
16. Tekiner, H., Coit, D.W. and Felder, F.A. "Multi-period multi-objective electricity generation expansion planning problem with monte-carlo simulation", *Electric Power Systems Research*, **80**(12), pp. 1394-1405 (2010).
17. Careri, F., Genesi, C., Marannino, P. and et al. "Generation expansion planning in the age of green economy", *IEEE Transactions on Power Systems*, **26**(4), pp. 2214-2223, (2011).
18. Sagastizábal, C. and Solodov, M. "Solving generation expansion planning problems with environmental constraints by a bundle method", *Computational Management Science*, **9**(2), pp. 163-182 (2012).
19. Gitizadeh, M., Kaji, M. and Aghaei, J. "Risk based multiobjective generation expansion planning considering renewable energy sources", *Energy*, **50**, pp. 74-82 (2013).
20. Santos, H.L. and Legey, L.F.L. "A model for long-term electricity expansion planning with endogenous environmental costs", *International Journal of Electrical Power & Energy Systems*, **51**, pp. 98-105 (2013).
21. Bhuvanesh, A., Jaya Christa, S.T., Kannan, S. and et al. "Application of differential evolution algorithm and its variants for solving energy storage technologies integrated generation expansion planning", *Iranian Journal of Science and Technology, Transactions of Electrical Engineering*, **43**, pp. 883-896 (2019).
22. Allahdadi Mehrabadi, R., Parsa Moghaddam, M. and Sheikh-El-Eslami, M.K., "Generation expansion planning in multi electricity markets considering environmental impacts", *Journal of Cleaner Production*, **243**, pp. 1-17 (2020).
23. Alguacil, N., Motto, A.L. and Conejo, A.J. "Transmission expansion planning: a mixed-integer LP approach", *IEEE Transactions on Power Systems*, **18**(3), pp. 1070-1077 (2003).
24. Bustamante-Cedeño, E. and Arora, S. "Stochastic and minimum regret formulations for transmission network expansion planning under uncertainties", *Journal of the Operational Research Society*, **59**, pp. 1547-1556 (2008).
25. Leite da Silva, A.M., Rezende, L.S., Honório, L.M. and et al. "Performance comparison of metaheuristics to solve the multi-stage transmission expansion planning problem", *IET Generation, Transmission & Distribution*, **5**, pp. 360-367 (2011).
26. Delgado, D. and Claro, J. "Transmission network expansion planning under demand uncertainty and risk aversion", *International Journal of Electrical Power & Energy Systems*, **44**, pp. 696-702 (2013).
27. Shivaie, M. and Ameli, M.T. "Strategic multiyear transmission expansion planning under severe uncertainties by a combination of melody search algorithm and Powell heuristic method", *Energy*, **115**, pp. 338-352 (2016).
28. Lumbreras, S., Wogrin, S., Navarro, G. and et al. "A decentralized solution for transmission expansion planning: getting inspiration from nature", *Energies*, **12**(23), pp. 1-17 (2019).
29. Das, P., Bera, P.S. and Biswaas, P. "Bat-algorithm-based transmission expansion planning", In *Computational Advancement in Communication Circuits and Systems*, K. Maharatna, M. Kanjilal, S. Konar, S. Nandi, and K. Das, Ed, Lecture Notes in Electrical Engineering, **575**, Springer, Singapore, pp. 49-58 (2020).
30. Gomes, P.V. and Saraiva, J.T. "State-of-the-art of transmission expansion planning: a survey from restructuring to renewable and distributed electricity markets", *International Journal of Electrical Power & Energy Systems*, **111**, pp. 411-424 (2019).
31. Sharan, I. and Balasubramanian, R. "Integrated generation and transmission expansion planning including power and fuel transportation constraints", *Energy Policy*, **43**, pp. 275-284 (2012).
32. Pozo, D., Sauma, E.E. and Contreras, J. "A three-level static MILP model for generation and transmission expansion planning", *IEEE Transactions on Power Systems*, **28**, pp. 202-210 (2013).

33. Cedeño, E.B. and Arora, S. "Integrated transmission and generation planning model in a deregulated environment", *Frontiers in Energy*, **7**, pp. 182-190 (2013).
34. Sarid, A. and Tzur, M. "The multi-scale generation and transmission expansion model", *Energy*, **148**, pp. 977-991 (2018).
35. Gupta, N., Khosravy, M., Patel, N. and et al. "A bi-Level evolutionary optimization for coordinated transmission expansion planning", *IEEE Access*, **6**, pp. 48455-48477 (2018).
36. Nunes, J.B., Mahmoudi, N., Saha, T.K. and et al. "A multi-stage transition toward high renewable energy penetration in Queensland, Australia", *IET Generation, Transmission & Distribution*, **12**(4), pp. 850-858 (2018).
37. Märkle-Huβ, J., Feuerriegel, S. and Neumann, D. "Cost minimization of large-scale infrastructure for electricity generation and transmission", *Omega*, **96**, pp. 1-16 (2020).
38. Quiroga, D., Sauma, E. and Pozo, D. "Power system expansion planning under global and local emission mitigation policies" *Applied Energy*, **239**, pp. 1250-1264 (2019).
39. Malakoti-Moghadam, M., Askarzadeh, A. and Rashidinejad, M. "Transmission and generation expansion planning of energy hub by an improved genetic algorithm", *Energy Sources, Part A: Recovery, Utilization, and Environmental Effects*, **41**(24), pp. 3112-3126 (2019).
40. Bahiense, L., Oliveira, G.C., Pereira, M. and et al. "A mixed integer disjunctive model for transmission network expansion", *IEEE Transactions on Power Systems*, **16**(3), pp. 560-565 (2001).
41. Romero, R., Rocha, C., Mantovani, J.R.S. and et al. "Constructive heuristic algorithm for the DC model in network transmission expansion planning", *IEE Proceedings Generation, Transmission and Distribution*, **152**(2), pp. 277-282 (2005).
42. Wood, A.J., Wollenberg, B.F. , Sheblé, G.B., *Power Generation, Operation, and Control*, 3rd ed., Wiley, New York (2013).
43. Executive Code on how to prevent noise pollution. "Approval of the Iranian council of ministers", Retrieved from <https://rc.majlis.ir/fa/law/show/119297>.
44. Upham, P., Oltra, C. and Bosio, Á. "Towards a cross-paradigmatic framework of the social acceptance of energy systems", *Energy Research & Social Science*, **8**, pp. 100-112 (2015).
45. Scherhauser, P., Höltinger, S., Salak, B. and et al. "The transition of the Austrian energy system to a high penetration of wind energy - a participatory integrated assessment of the social acceptance: final activity report", Universität für Bodenkultur (BOKU), Vienna (2016).
46. Paravantis, J.A., Stigka, E., Mihalakakou, G. and et al. "Social acceptance of renewable energy projects: a contingent valuation investigation in Western Greece", *Renewable Energy*, **123**, pp. 639-651 (2018).
47. Opiyo, N.N. "Impacts of neighbourhood influence on social acceptance of small solar home systems in rural western Kenya", *Energy Research & Social Science*, **52**, pp. 91-98 (2019).
48. Benders, J.F. "Partitioning procedures for solving mixed-variables programming problems", *Numerische Mathematik*, **4**, pp. 238-252 (1962).
49. Birge, J.R. and Louveaux, F., *Introduction to Stochastic Programming*, 2nd ed., Springer, New York (2011).
50. Geoffrion, A.M. "Elements of large scale mathematical programming", *Management Science*, **16**, pp. 652-691 (1970).
51. Nemhauser, G.L. and Wolsey, L.A., *Integer and Combinatorial Optimization*, Wiley-Interscience, New York (1999).
52. Birge, J.R. and Louveaux, F. "A multicut algorithm for two-Stage stochastic linear programs", *European Journal of Operational Research*, **34**, pp. 384-392 (1988).
53. Wu, L. and Shahidehpour, M. "Stochastic security-constrained unit commitment", *IEEE Transactions on Power Systems*, **22**(2), pp. 800-811 (2007).
54. TEHC. "Detailed statistics on electric power industry in Iran, power generation (2011-2012)", Tavanir Expert Holding Company, Tehran (In Persian) (2012).
55. TEHC. "Detailed statistics on electric power industry in Iran, power transmission (2011-2012)", Tavanir Expert Holding Company, Tehran (In Persian) (2012).
56. TEHC. "Electric power industry in iran (2011-2012)", Tavanir Expert Holding Company, Tehran (2012).